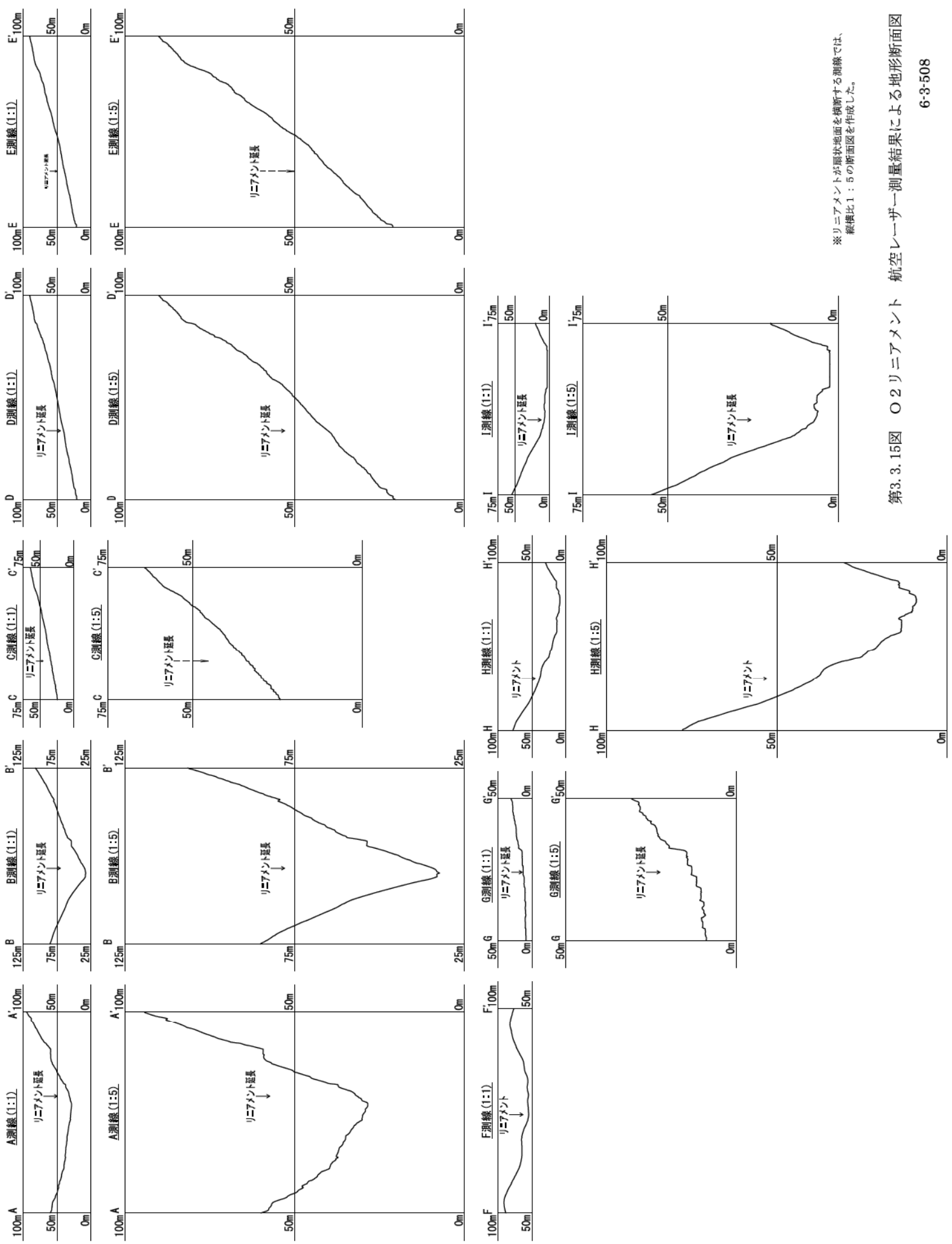


・航空レーザー測量結果より作成した等高線図(0.5m)を用いて詳細な地形判読を行った。
 ・その結果、鞍部(a, c, d地点)及び傾斜変換線(e地点)を判読要素とするリニアメントが判読されるが、尾根・河谷の系統的な屈曲は認められない。

第3.3.14 図 O2リニアメント周辺の詳細地形調査結果



※リニアメントが現状地面を横断する測線では、縦横比1：5の断面図を作成した。

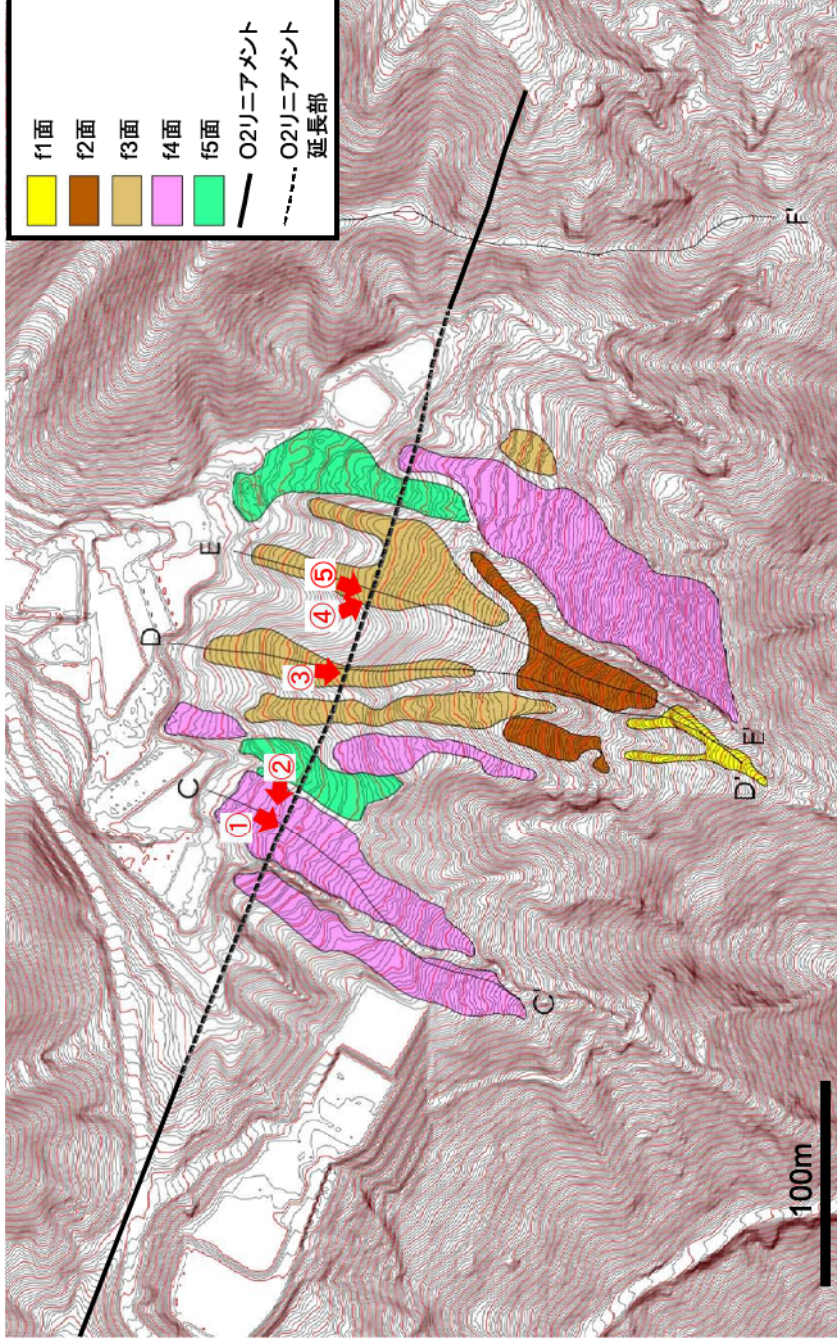
第3.3.15図 O2リニアメント 航空レーザー測量結果による地形断面図



写真① C測線



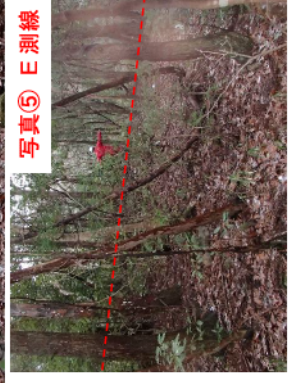
写真② C測線



写真③ D測線



写真④ E測線



写真⑤ E測線

航空レーザー測量結果より作成した等高線図 (0.5m) を用い、詳細な地形判読を実施

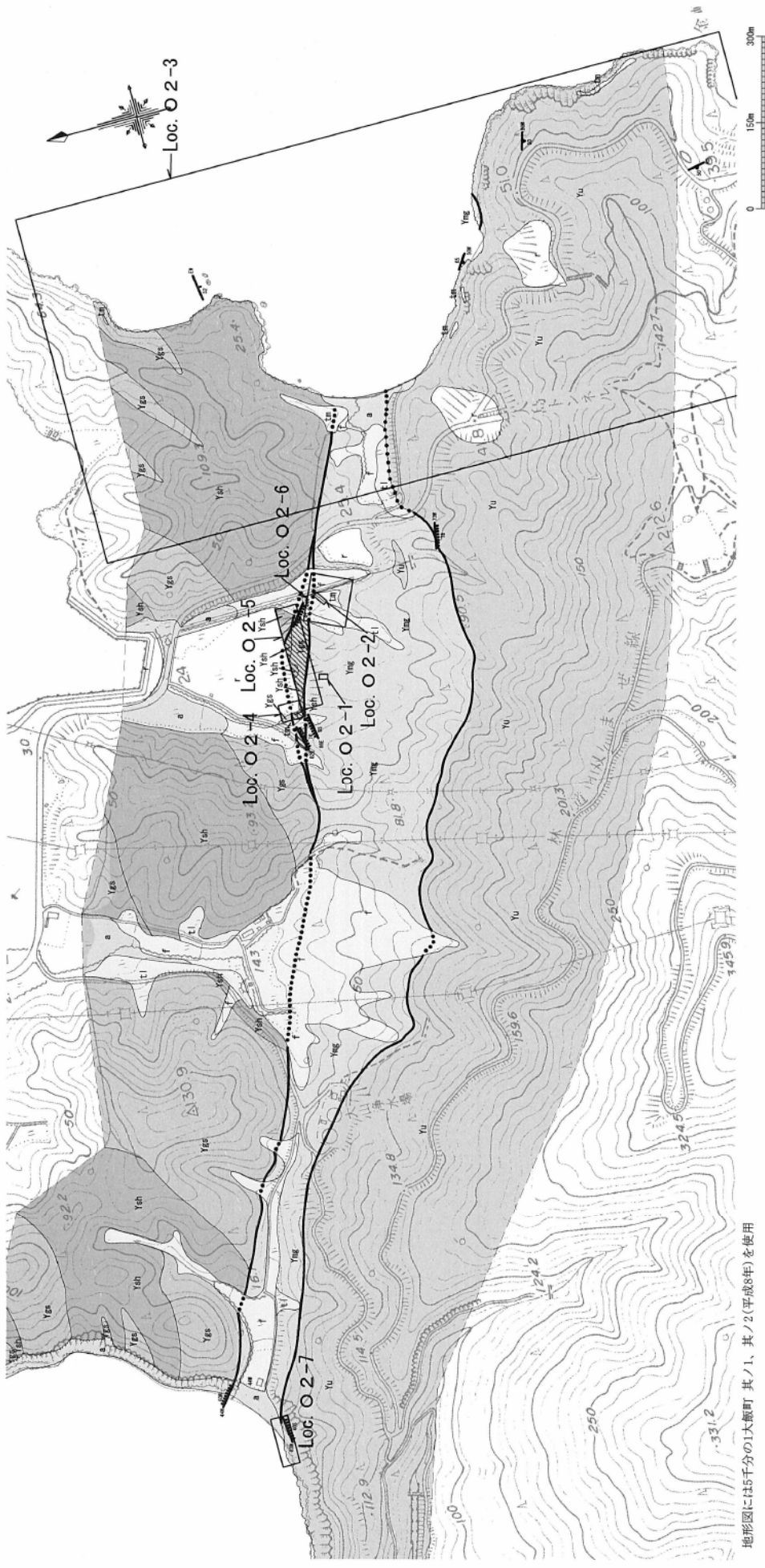
地形判読結果

- ・地形断面図 (D測線) 付近の扇状地群は複数の地形面から構成される
- ・地形断面図 (D測線) では、極めて微小な傾斜変換が見られるが、O2リニアメントの走向方向に連続しない。
- ・O2リニアメント延長部付近には顕著な落差は認められない。

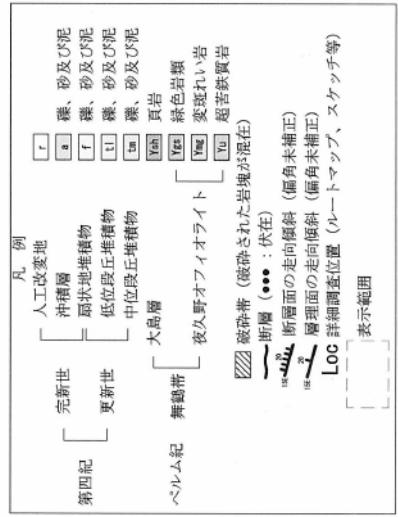
現地確認結果

これらの結果から地形断面図 (D測線) で見られた極めて微小な傾斜変換は、扇状地の凹凸である。

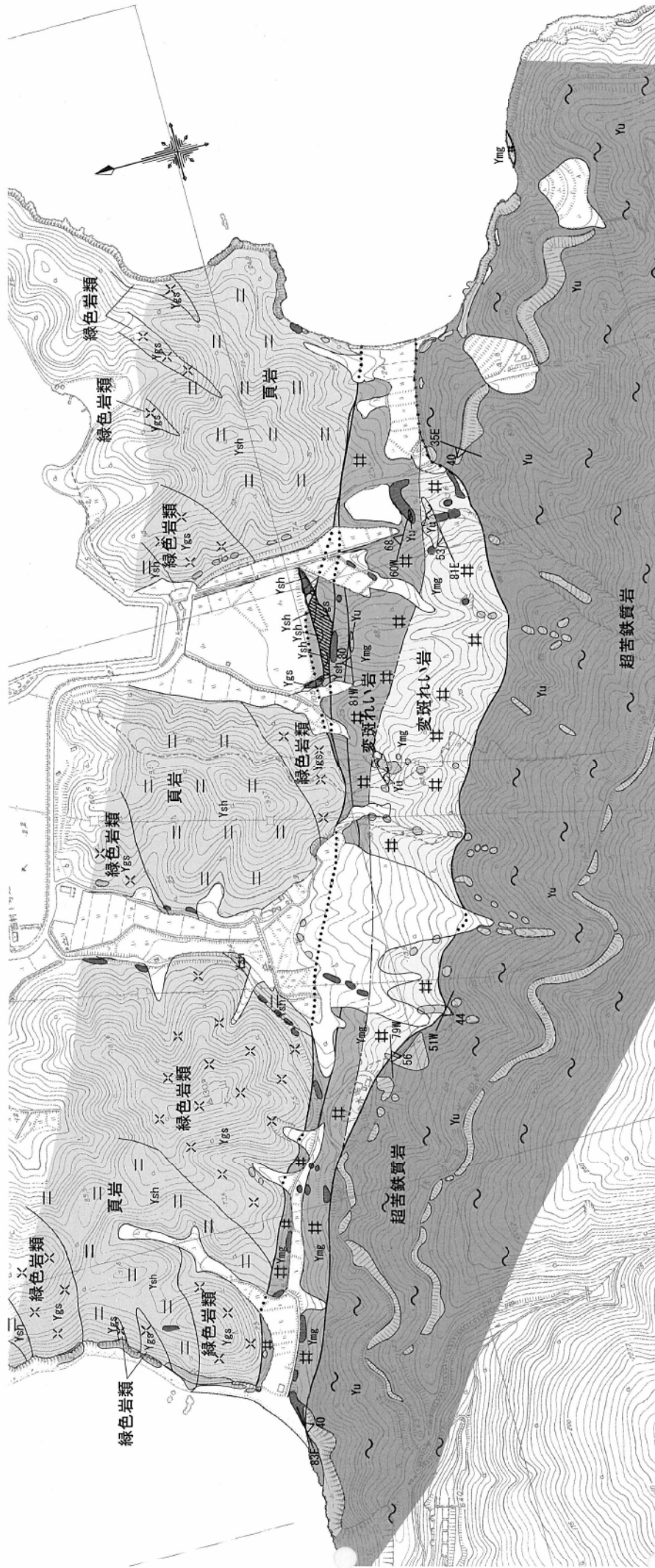
第3.3.16図 O2リニアメント周辺の地形調査結果 (b地点付近)



地形図には5千分の1大館町 其ノ1、其ノ2(平成8年)を使用



第3.3.17図 O21ニリアメント周辺の地質図

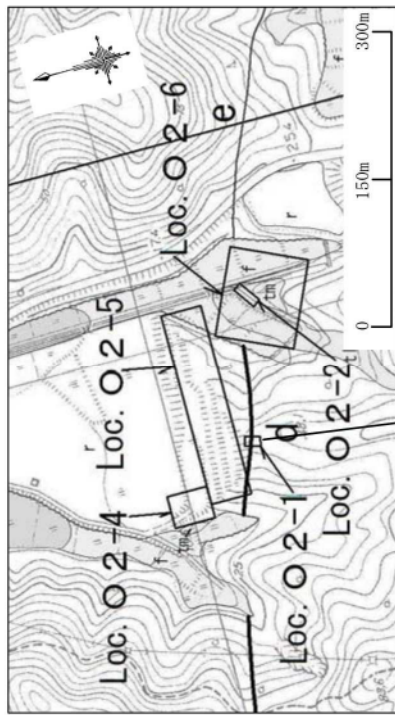


この地形図は5千分の1大館町 其ノ1、其ノ2(平成8年)を使用
 O2リニアメント周辺の地質図にリニアメントを追記

リニアメントに沿ってD級相当主体の変斑れい岩が分布している。

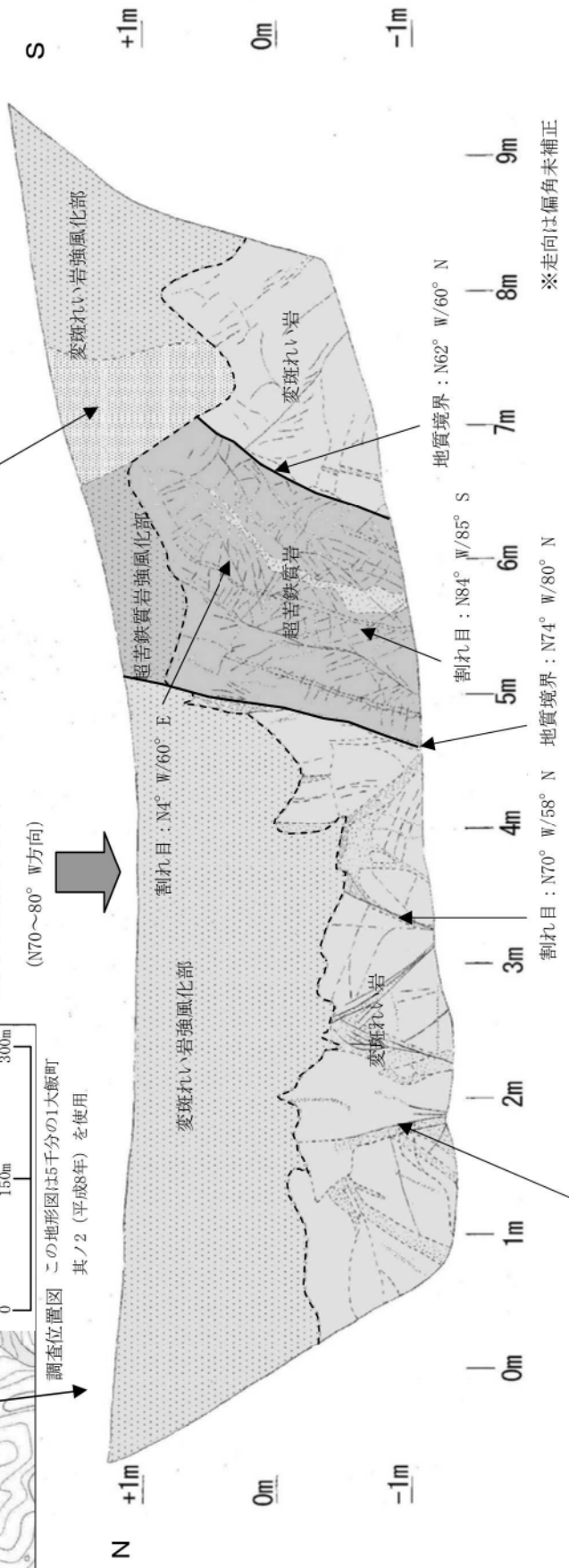
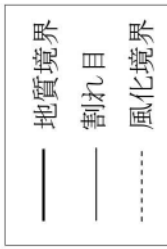
凡例

露頭岩級		地質	
■	岩級D級相当	□	第四系
■	岩級Cl-Cw級相当	▨	頁岩 (大島層)
■	基盤岩級分盤	⊗	緑色岩類
■	Ysh, Ygs : Cl-Cw級相当主体	⊕	変斑れい岩
■	Ymg : D級相当主体	⊖	超苦鉄質岩
■	Ymg : Cl-Cw級相当主体	⊘	破碎帯
■	Yu : Cw級相当主体	—	断層 (●●● : 伏在)
~	岩級分帯境界線	—	リニアメント
△	変斑れい岩と超苦鉄質岩との境界面 (偏角補正済)		



Cランクのリニアメント
(N70~80° W方向)

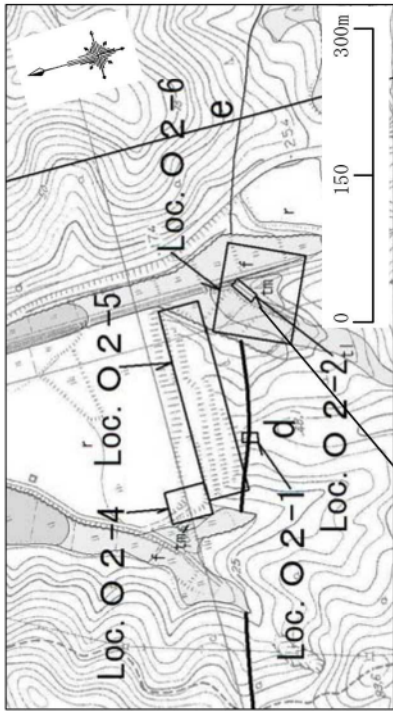
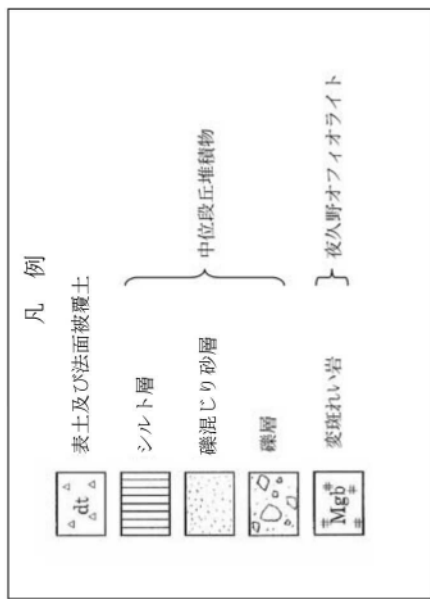
地質区分が困難な強風化部



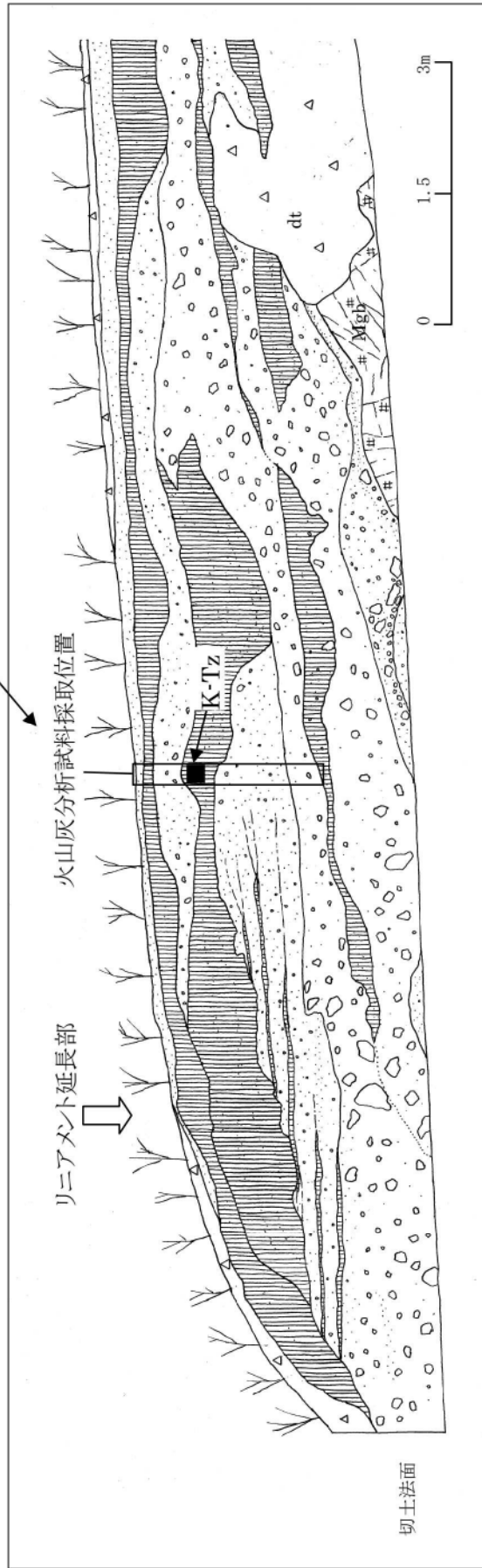
割れ目: N65° W/77° S

ピット壁面では、変斑れい岩と超苦鉄質岩が分布しているが、断層は認められない。
地質境界及び割れ目の方向は、リニアメント方向にほぼ一致している。

第3.3.19図 O2リニアメント ピット調査箇所東側壁面スケッチ (Loc. O 2-1)

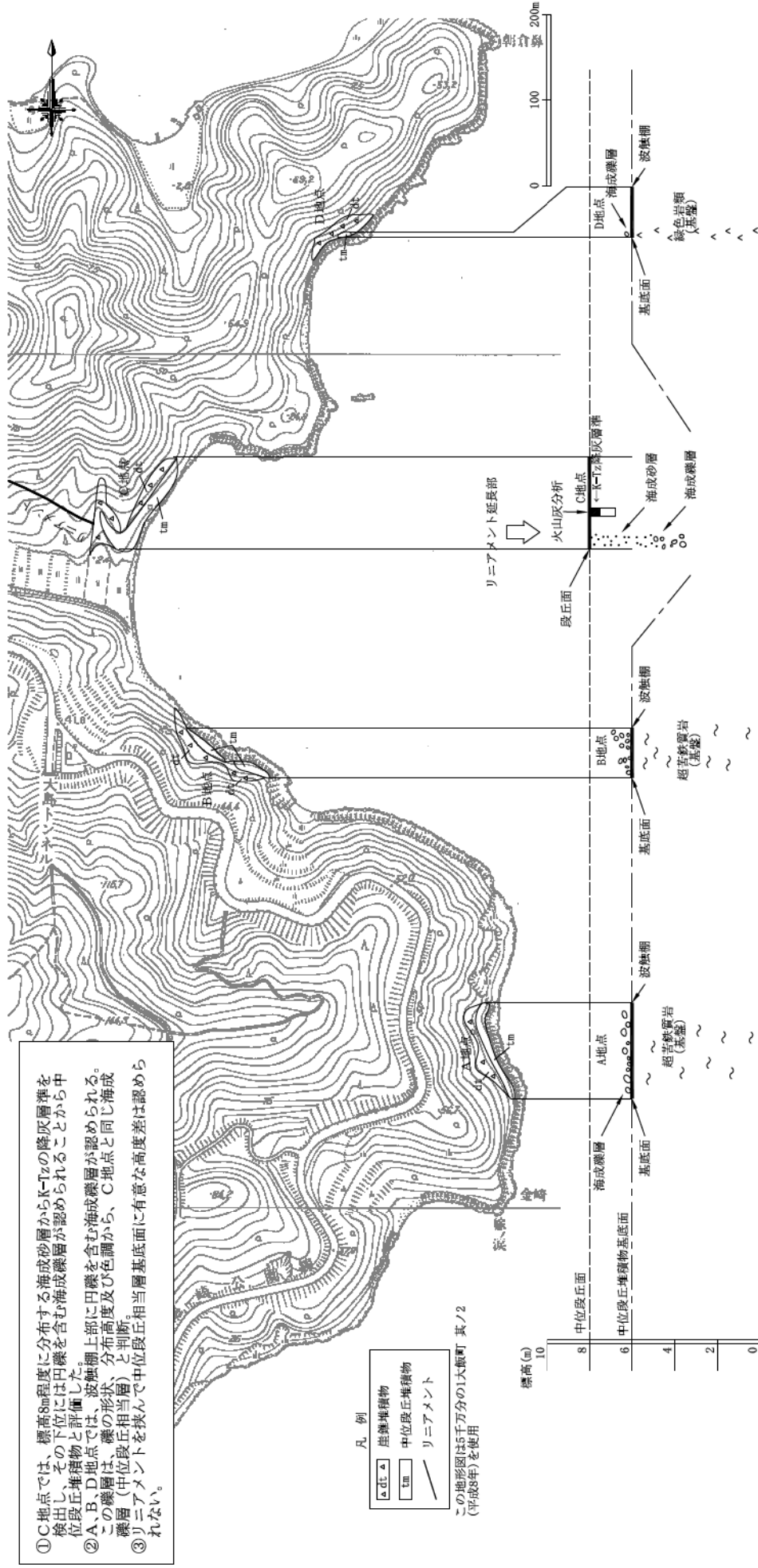


調査位置図 この地形図は5千分の1大飯町 其ノ2 (平成8年)を使用



リニアメント延長部付近にはK-Tzテフラの降灰層準を含む中位段丘堆積物が分布するが、この堆積物に断層による変位・変形は認められない。

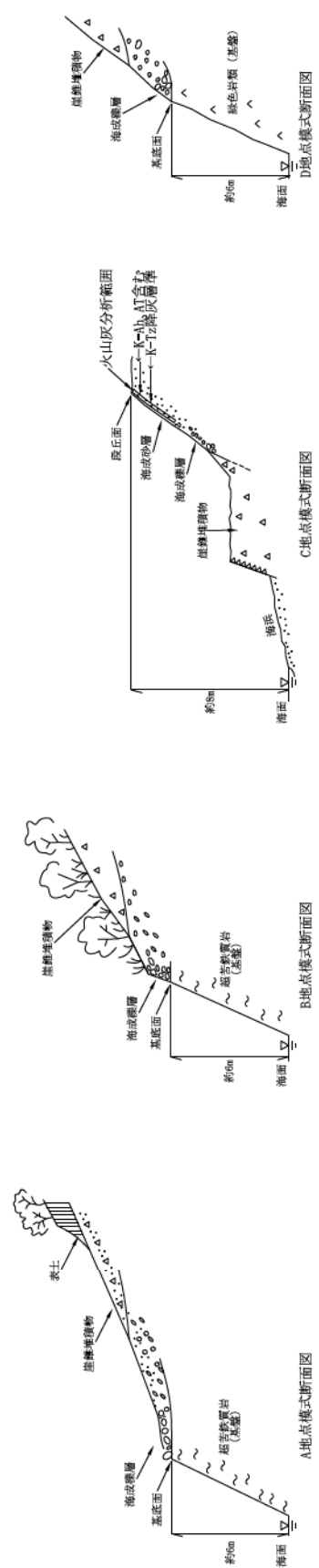
第3.3.20図 O2リニアメント 露頭スケッチ (Loc. O 2-2)



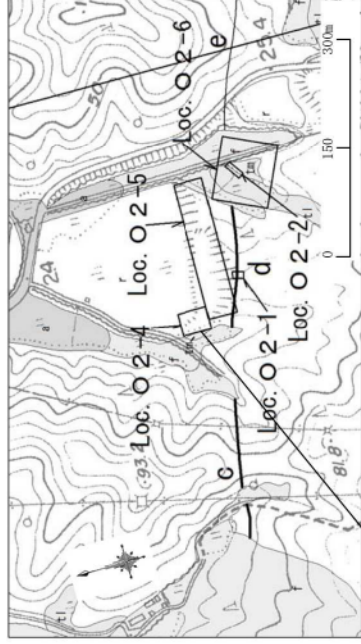
① C地点では、標高8m程度に分布する海成砂層からK-Tzの降灰層準を
検出し、その下位には円礫を含む海成礫層が認められることから中
位段丘堆積物と評価した。波蝕棚上部に円礫を含む海成礫層が認められる。
② A、B、D地点では、礫の形状、分布高度及び色調から、C地点と同じ海成
礫層は、礫の形状、分布高度及び色調から、C地点と同じ海成
礫層(中位段丘相当層)と判断。
③ リニアメントを挟んで中位段丘相当層基底面に有意な高度差は認めら
れない。

凡 例
 ▲△△ 陸地堆積物
 〓 中位段丘堆積物
 --- リニアメント

この地形図は5万分の1大飯町 其ノ2
 (平成8年)を使用

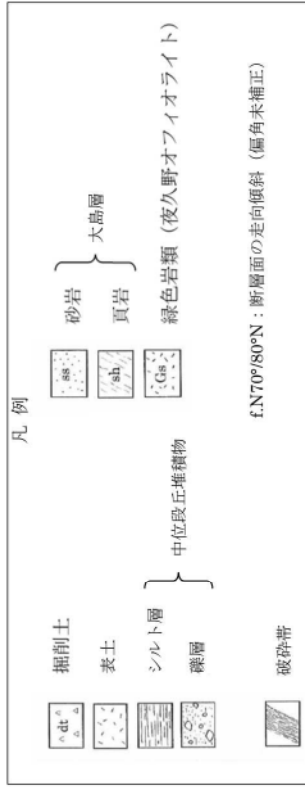


第3.3.21図 O2リニアメント 東海岸海成段丘分布図(Loc. O2-3)
 6-3-514



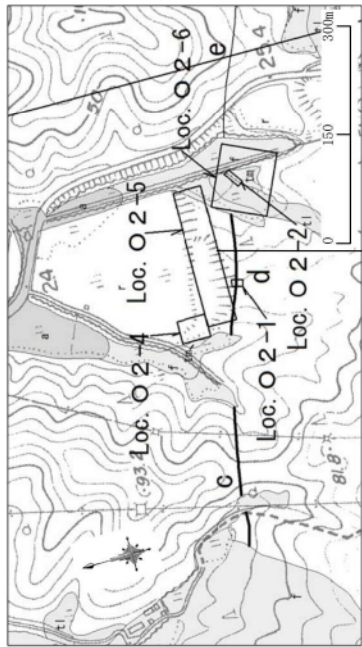
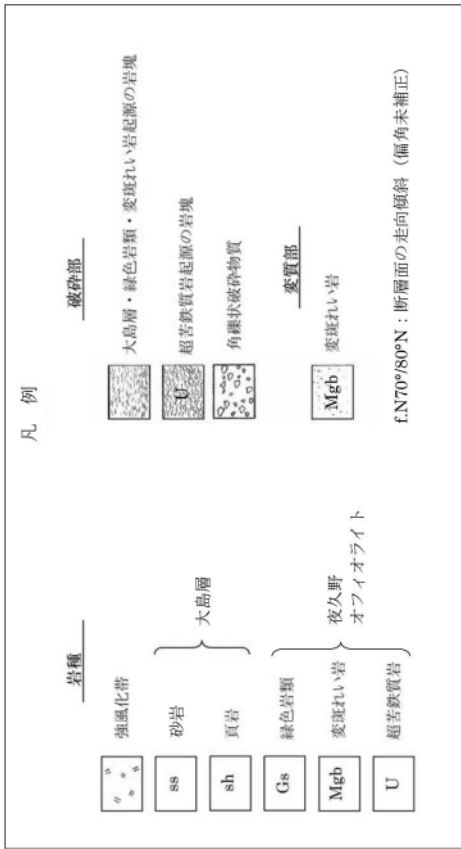
この地形図は5千分の1大塚町 其ノ2
(平成8年)を使用

調査位置図

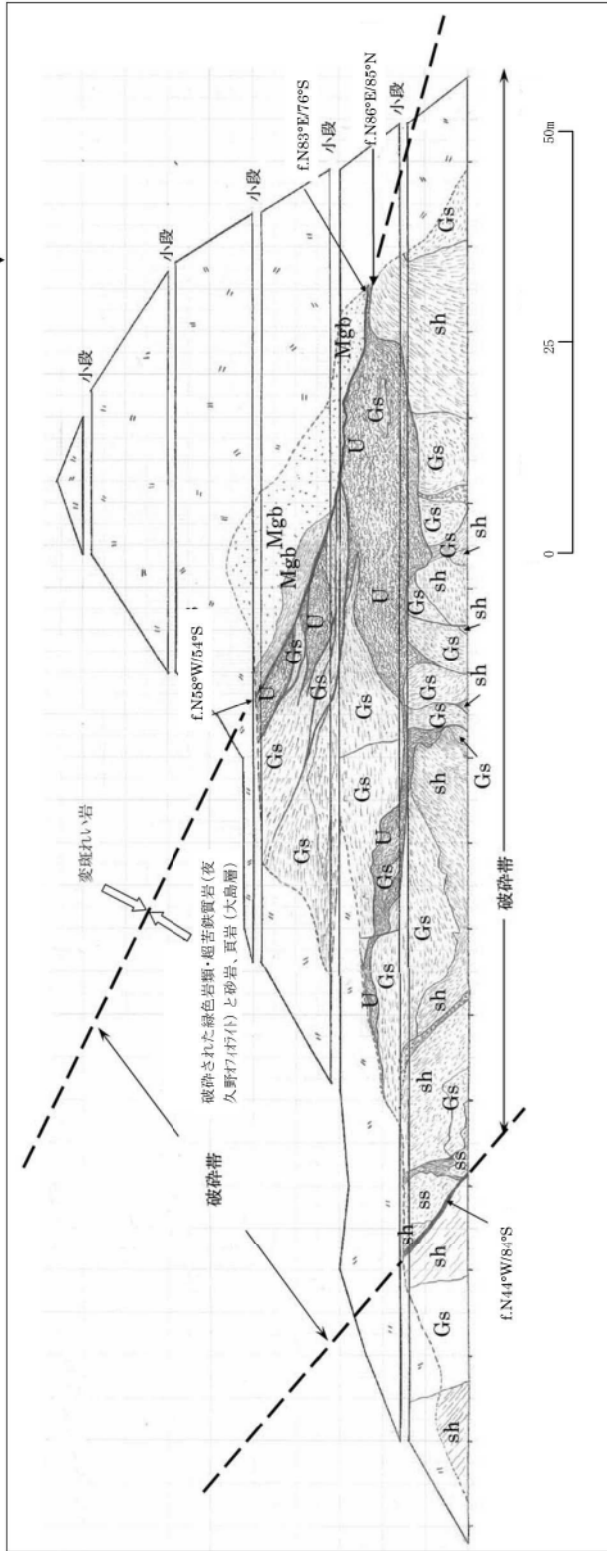


切土法面付近には変斑れい岩と砂岩・頁岩・緑色岩類の境界をなす断層があり、切土法面の大部分は境界断層の破砕帯である。
 幅広い破砕帯は、KTzテプラの降灰層準を含む中位段丘堆積物に覆われ、その堆積物には断層による変位・変形は認められない。

第 3.3.22 図 O 2 リニアメント 露頭スケッチ (Loc. O 2-4)

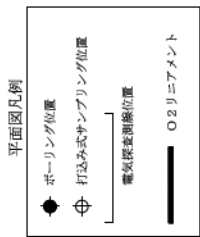
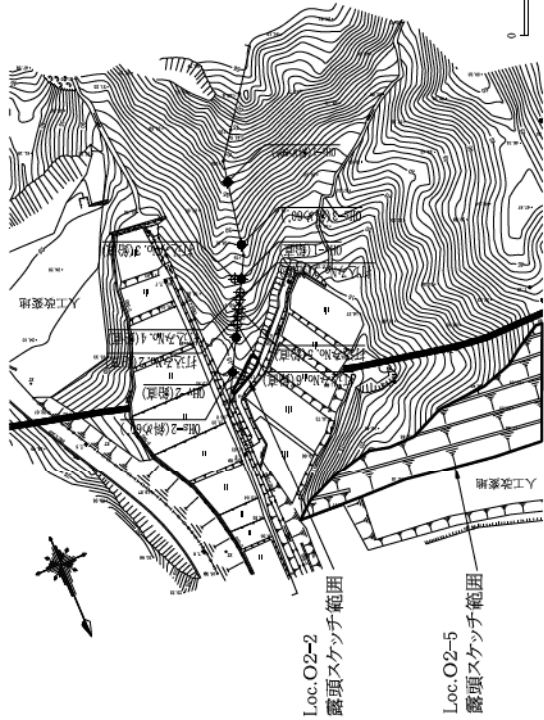


この地形図は5千分の1大飯町 其ノ2
(平成8年)を使用



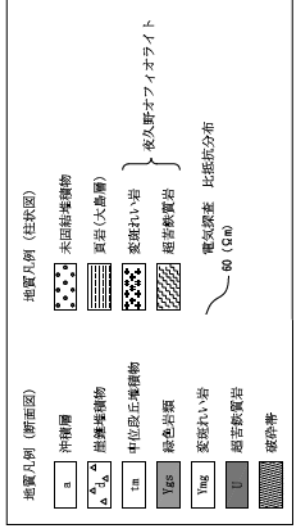
切土法面に現れた幅数10mの破砕帯で、断層の上盤側は変斑れい岩、下盤側は緑色岩類・頁岩が分布する。
破砕帯は緑色岩類、砂岩、頁岩、超苦鉄質岩起源の岩塊や角礫状、砂状破砕部等からなり、へき開面が密に発達している。超苦鉄質岩の岩塊は蛇紋岩化し、光沢のあるへき開面が発達する。破砕帯は強風化帯では見えなくなる。

第 3. 3. 23 図 O 2 リニアメント 露頭スケッチ (Loc. O 2-5)

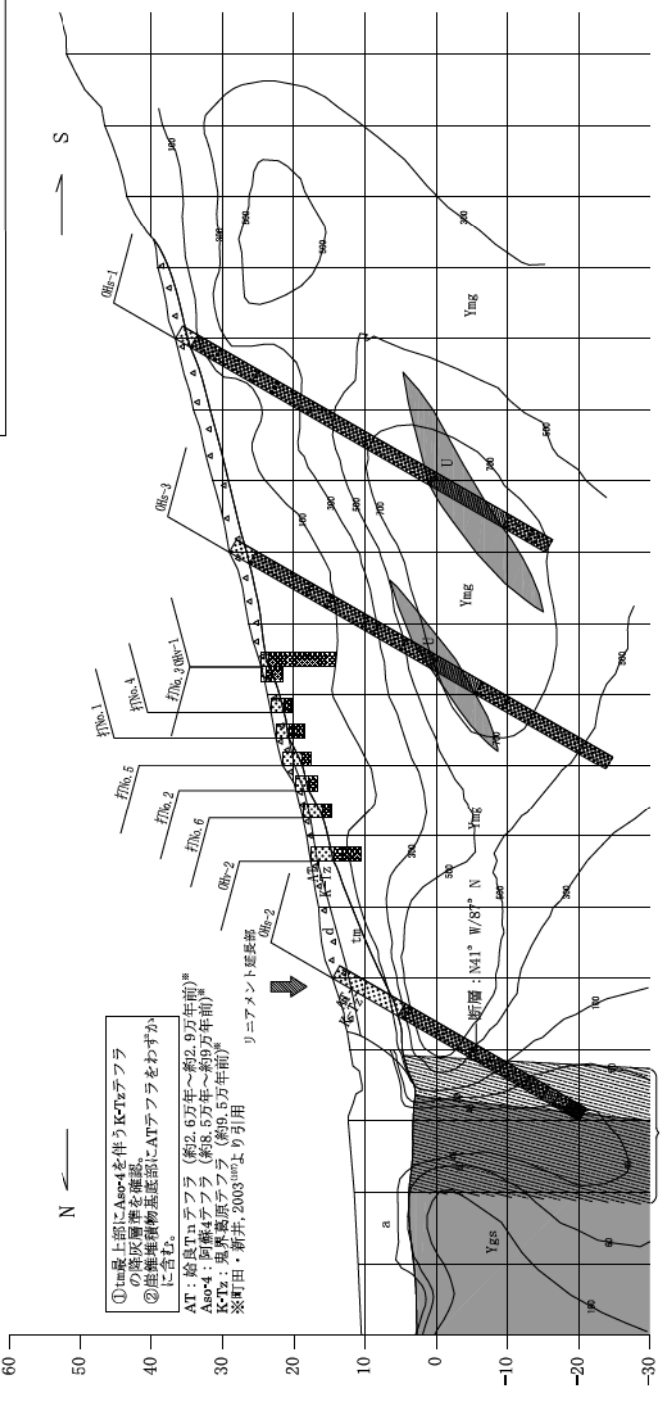


・O2リニアメント延長部付近には、夜久野オオフィオライトの変斑れい岩・緑色岩類等や中位段丘堆積物が分布している。リニアメント延長部付近の変斑れい岩に断層は認められないが、約10m北側に幅約20mの広い破砕帯を有する断層が認められる。
 ・断層の走向傾斜は、N41°W/87°Nを示し、破砕帯性を考慮すると、西側のLoc. O2-4やLoc. O2-5の破砕帯に連続すると判断した。
 ・電気探査の低抵抗抗部（約60Ωm以下）を破砕帯と推定し、ボーリングで確認した。

凡例



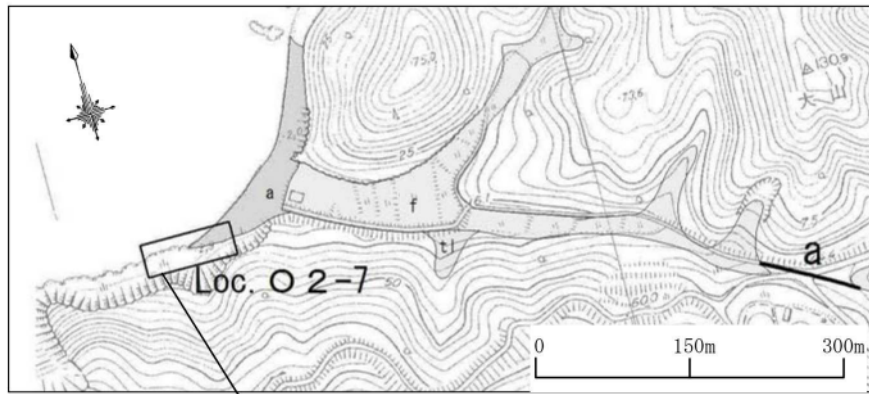
調査位置図



① tm最上部にAsp-4を伴うK-Tsデフラの腐敗層を推定。
 ② 庄尾堆積物基底部にATデフラをわすかに含む。
 AT: 捨島Tmデフラ (約2.6万年~約2.9万年前)[※]
 Asp-4: 阿蘇Tmデフラ (約8.5万年~約9万年)[※]
 K-Ts: 黒島Tmデフラ (約9.5万年前)[※]
 ※町田・新井, 2003^{imp}より引用

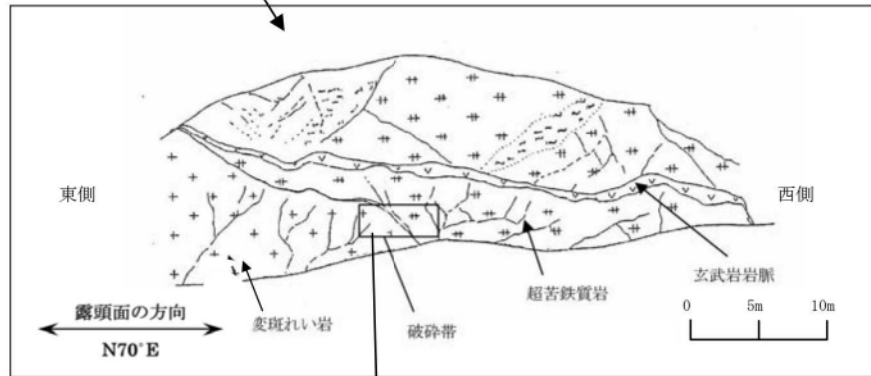
電気探査低抵抗抗部とボーリング調査から推定される破砕帯

第3.3.24図 O2リニアメント 地質断面図 (Loc. O2-6)

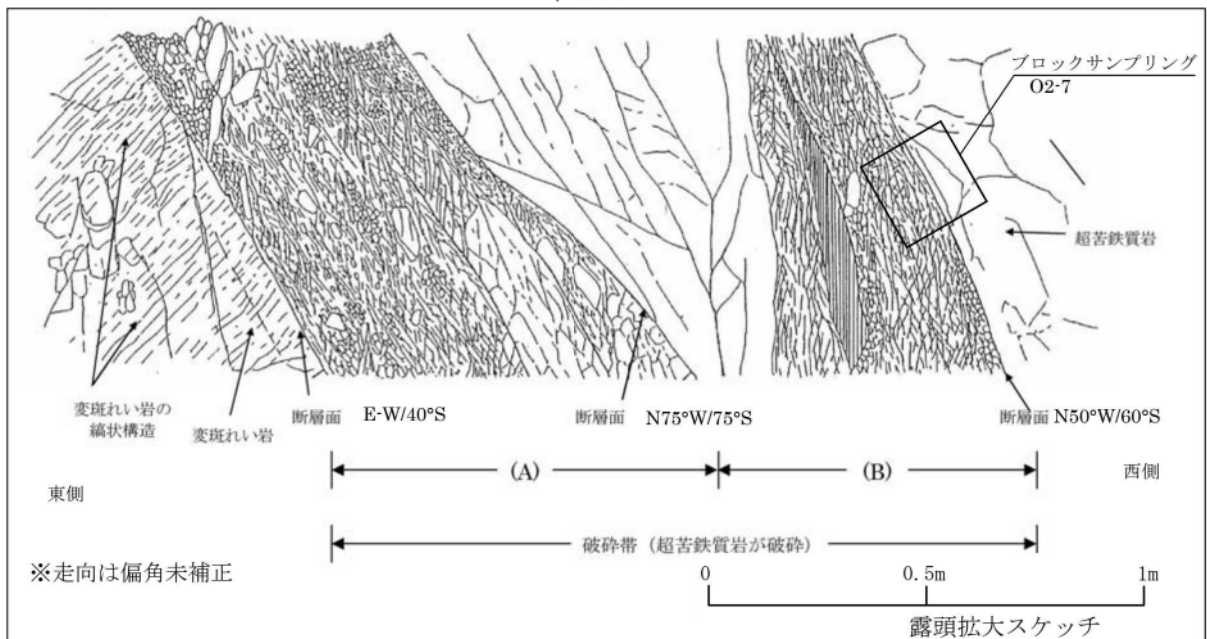


この地形図は5千分の1大飯町
其ノ1、其ノ2(平成8年)を使用

露頭位置図



露頭スケッチ



超苦鉄質岩と変斑れい岩との境界部に位置する断層。破碎帯は(A)、(B)の部分に分けられ、両者を併せて幅は約 1.5m である。

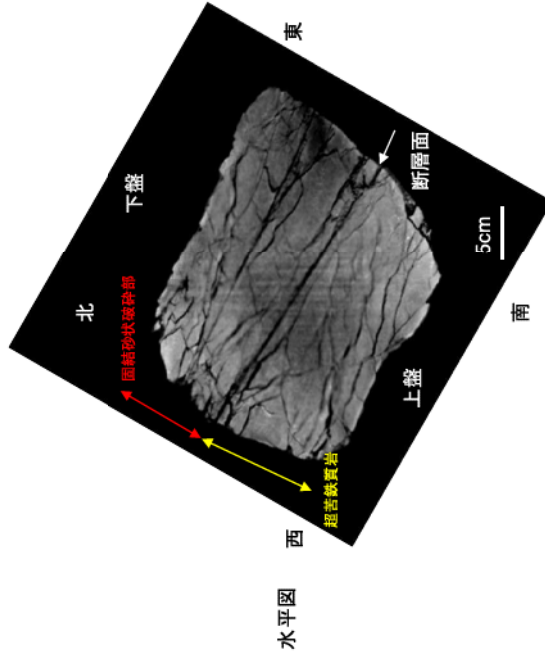
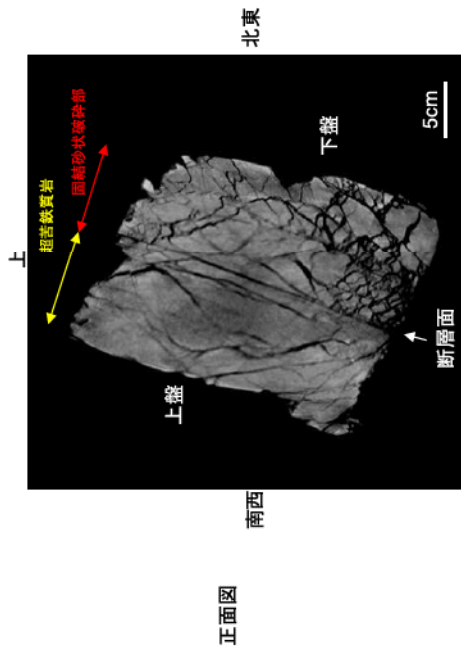
(A)：超苦鉄質岩の断層角礫（径約 3cm～約 10cm）と細粒破碎物質から構成され、かなり固結している。

(B)：完全に固結した細粒破碎物質と断層角礫（中礫～大礫サイズ）から構成される。

各断層面は直線状で明瞭である。

第 3.3.25 図 O2リニアメント 露頭スケッチ (Loc. O2-7)

CT画像解析結果(Loc.O2-1)



断層の走向傾斜: TN67W/70S
 縦ずれ成分: 不明、横ずれ成分: 不明
 明瞭な低密度部は確認されない

糸線観察結果



断面の状況(最新面近傍の断面:上盤側)

センス不明

垂直方向に糸線が認められる



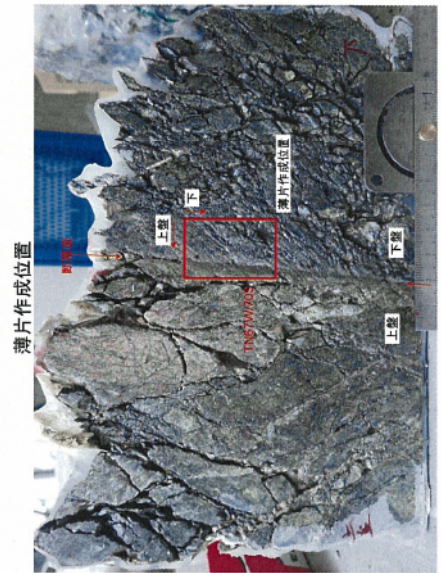
最新面の①砂状破砕部に正断層センスのPフオリエーションが認められる。

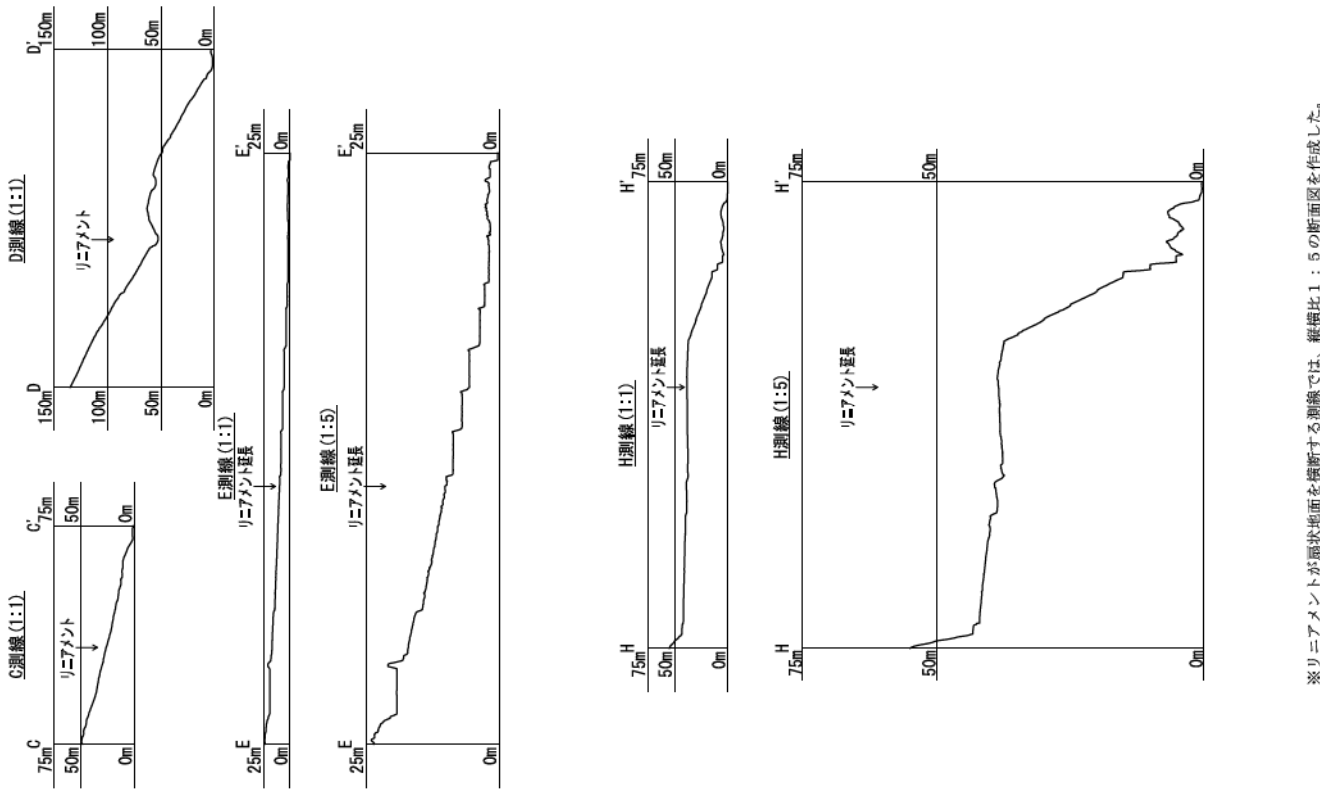
連続性のよい断層面(最新面)が認められる。

現在の広域応力場から推定される運動センスとは調和しない

薄片観察結果

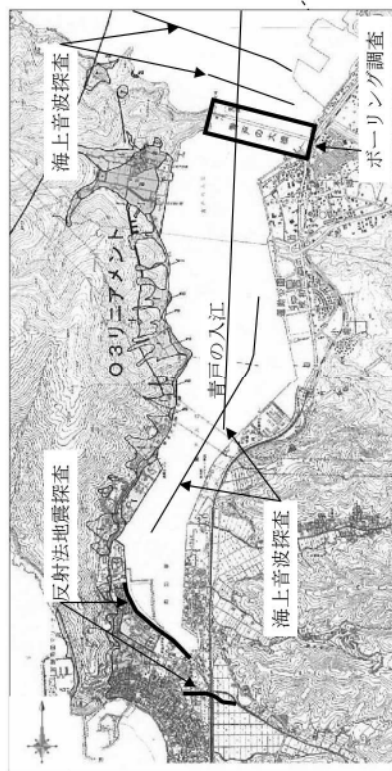
- プロック試料を条線方向に切断し、薄片を作成して変形組織の観察を行った。
- 分帯: ①砂状破砕部(細粒カタレーサイト)、②粘土状破砕部(断層ガウジ、最新)
- 分帯はテクスチャーに基づく
- 薄片を横断するY面が薄片中央部に1条認められ、このY面を最新面とする。
- 最新面付近の①砂状破砕部に正断層センスのPフオリエーションが認められる。





※リニアメントが扇状地面を横断する測線では、縦横比1：5の断面図を作成した。

第3.3.29図 O3リニアメント 航空レーザー測量結果による地形断面図

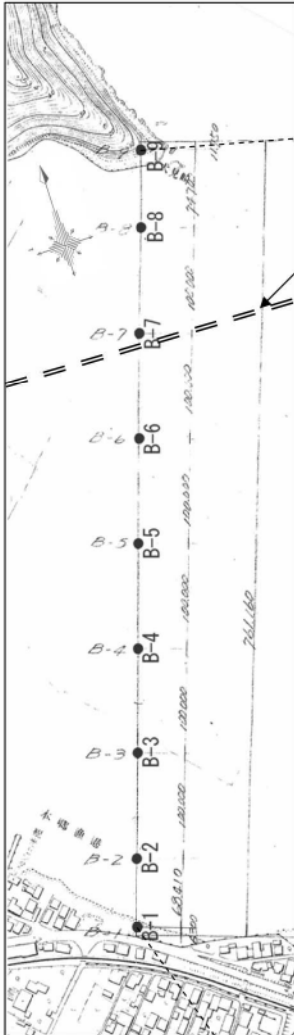


青戸の入江調査位置図

「この地図の一部分につき、国土地理院長の承認を得て、回覧発行の2万5千分の1地形図を複製したものである。(承認番号 平27、第259号)」

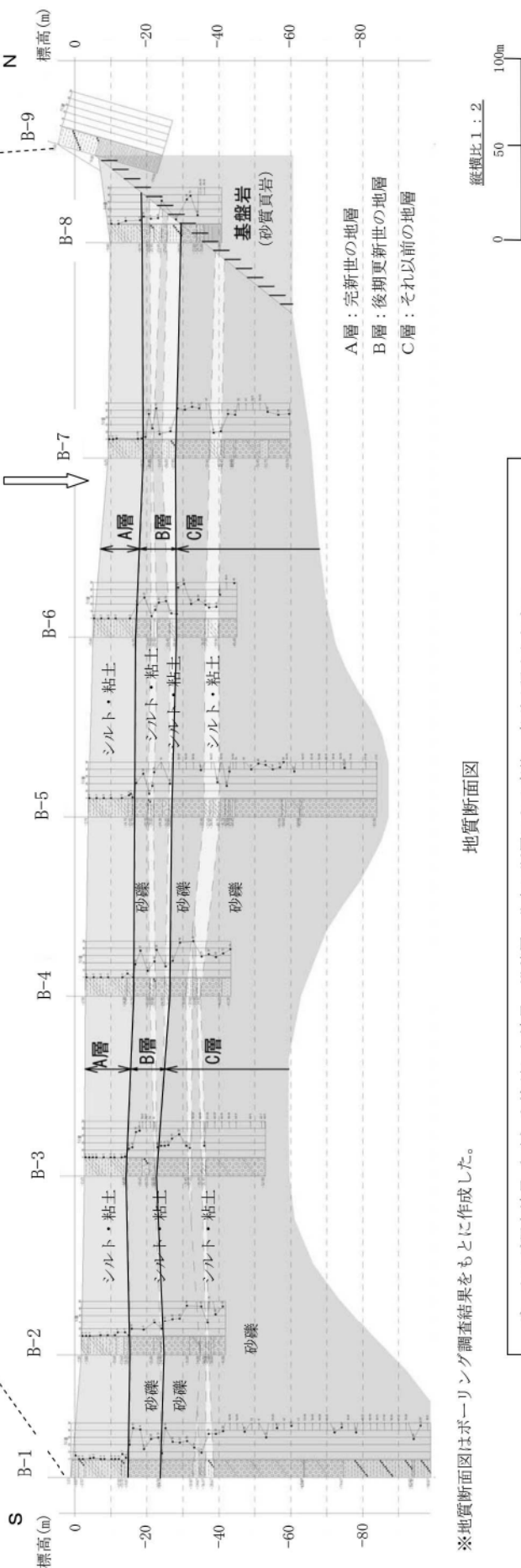
※ボーリング調査：昭和45年実施

調査位置図



海上音波探査測線
AB-300G

海上音波探査測線
AB-300G

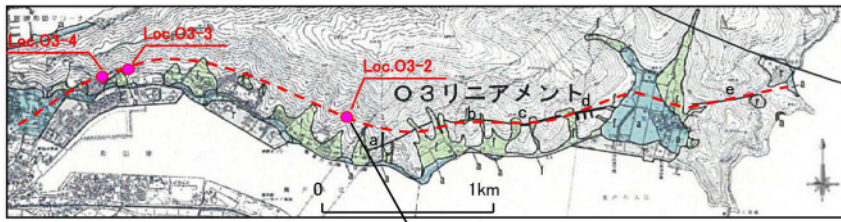


地質断面図

※地質断面図はボーリング調査結果をもとに作成した。

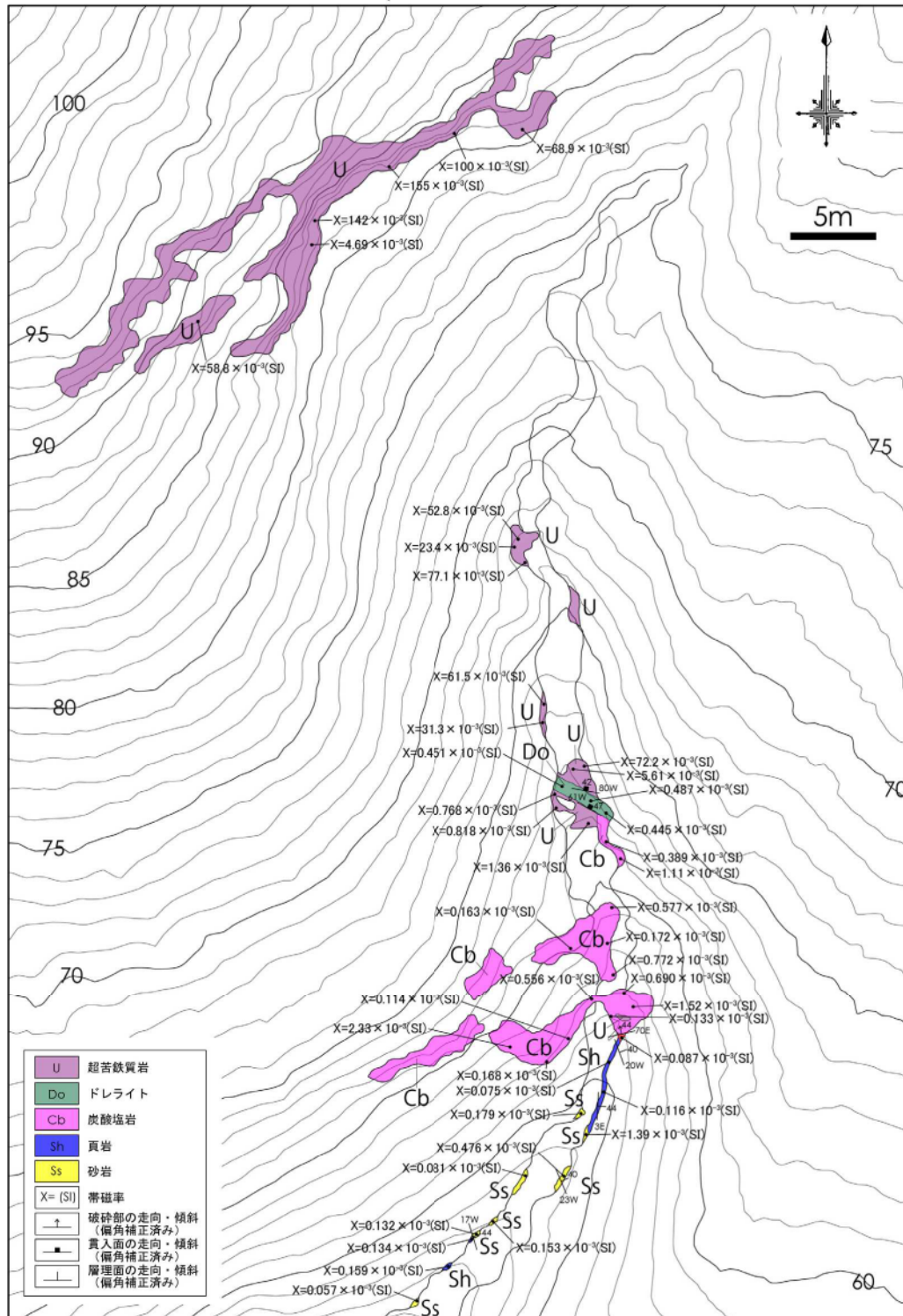
- ・ボーリング調査結果(9本)を検討した結果、堆積層の分布に断面による変位・変形は認められない。
- ・B-7孔と海上音波探査測線AB-300Gとのクロスチェックにより、地質断面図をA層、B層、C層に区分した結果、断面を示唆する変位・変形が認められない。

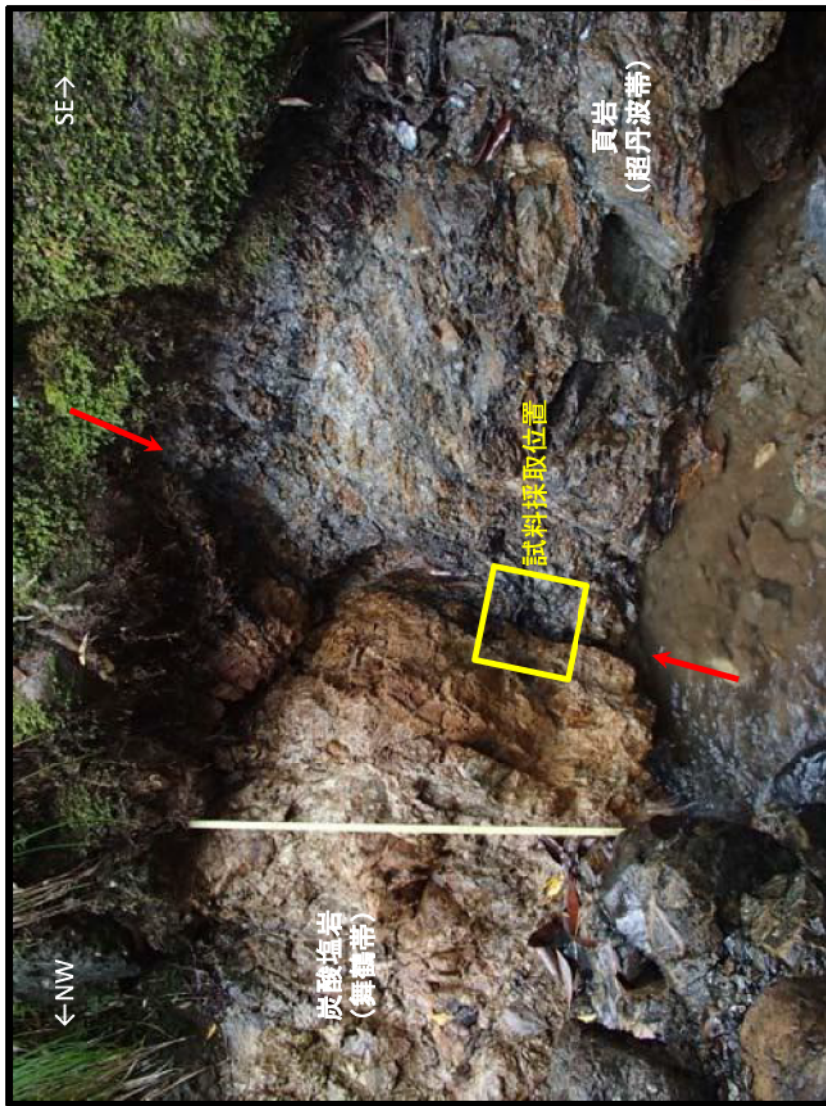
第3.32図 青戸大橋 地質断面図



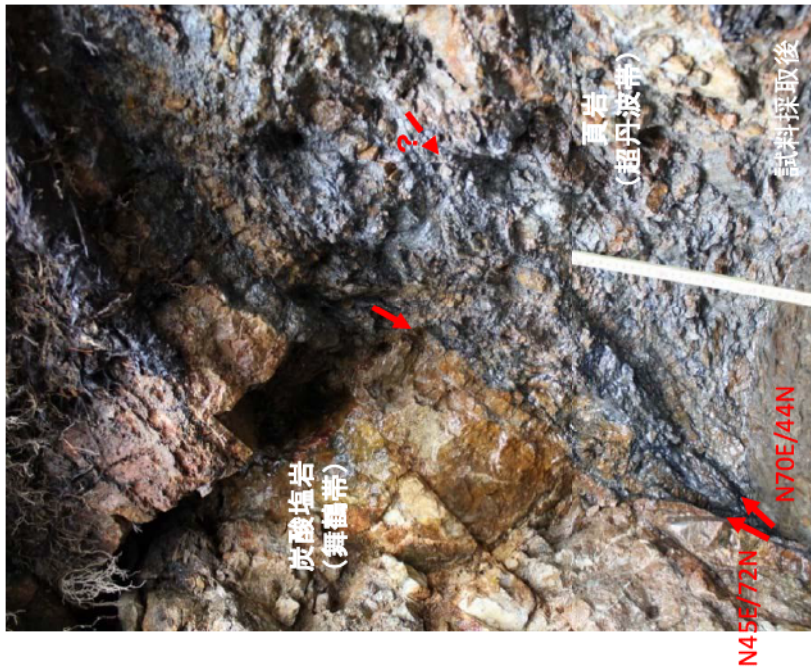
- 地形調査により抽出したリニアメント
- - - 文献に示される断層

「この地図は、国土地理院長の承認を得て、同院発行の2万5千分の1地形図を複製したものである。
(承認番号 平27情複、第259号)」





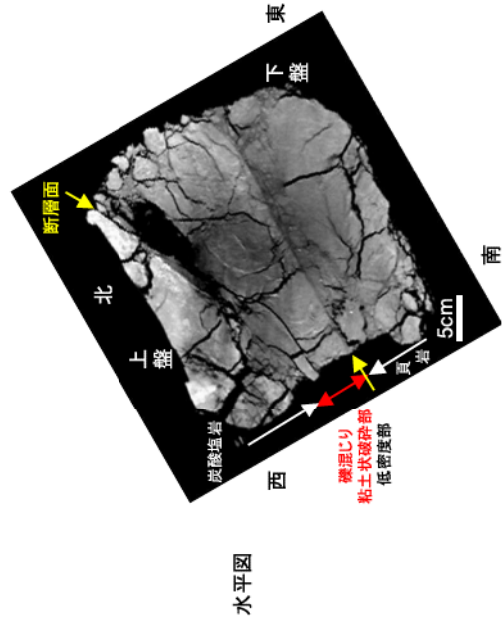
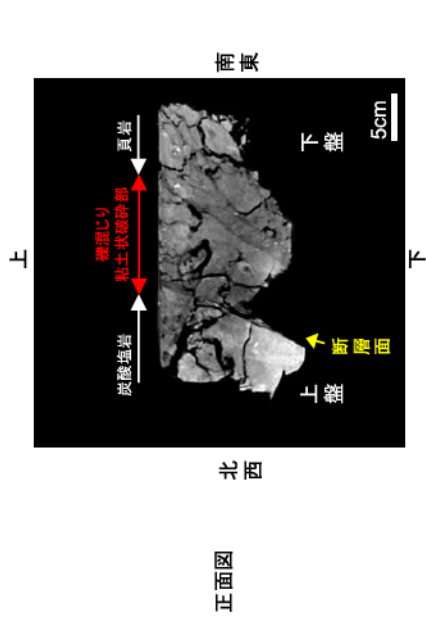
舞鶴帯(炭酸塩岩)、超丹波帯(頁岩)境界付近の露頭全景



断層面付近近景

・舞鶴帯と超丹波帯の境界と考えられる炭酸塩岩と頁岩の境界付近で露頭観察とブロックサンプリングを実施した。
 ・炭酸塩岩と頁岩との境界付近には、2条の断層(N70E/44N)の断層(頁岩側)が認められたが、下盤側(頁岩側)は露頭内で不明瞭となり隠滅する。

第 3.3.35 図 O3リニアメント 露頭観察結果 (Loc. O3-2)



断層の走向傾斜：N45E/72N
 縦ずれ成分：不明 横ずれ成分：不明
 岩相境界部及び下盤側に低密度部が認められる



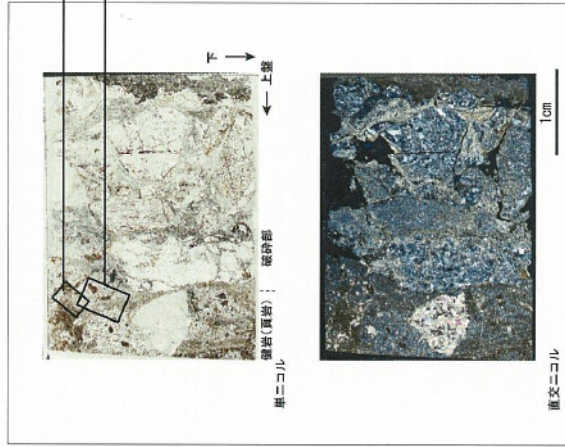
N45E/72N(炭酸塩岩境界)
 上盤下面
 条線不明

条線観察の結果、条線は認められなかった。

【薄片作成位置】

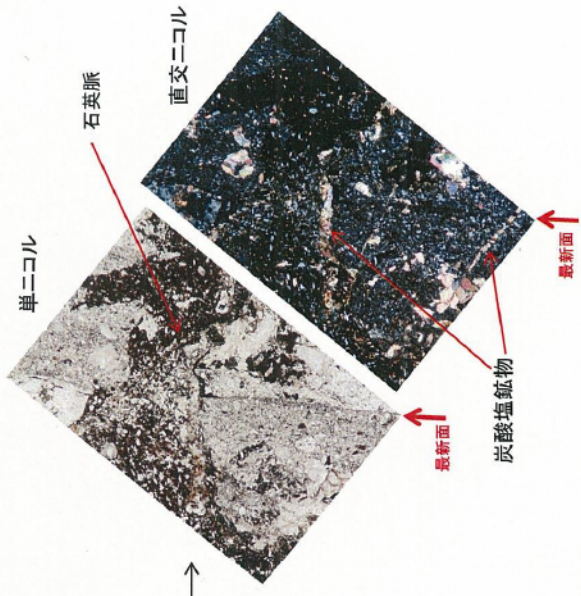


注) 撮影写真と方向を合わせるため、画像を左右反転している



単ニコール

直交ニコール



単ニコール

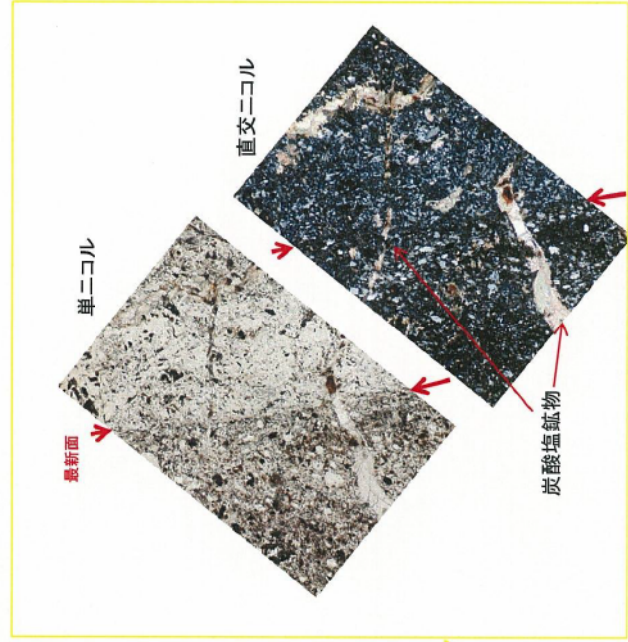
直交ニコール

石英脈

炭酸塩鉱物

最新面

最新面



単ニコール

直交ニコール

炭酸塩鉱物

最新面

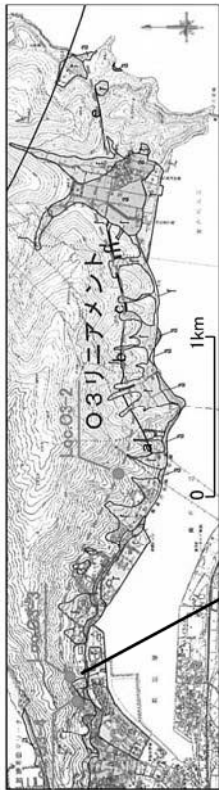
最新面
(雁行する)

直交ニコール

単ニコール

薄片観察結果
 ・N45E/72Nの断面に直交方向にブロックを切断し、薄片を作成した。
 ・炭酸塩岩と頁岩の境界であり、境界は大きく湾曲し、直線性は無い。
 ・炭酸塩岩中には、結晶及び脈状の炭酸塩鉱物、石英、スピネルが認められる。
 ・頁岩中には、石英及び粘土鉱物が認められ、炭酸塩岩との境界付近の石英には波動消光が認められる。
 ・炭酸塩岩と頁岩の境界付近に比較的直線性の良い断面が認められ、最新面と考えられるが、薄片中で雁行する。
 ・最新面近傍周辺にP面、引きずりの構造は認められない。
 ・最新面を横断する炭酸塩鉱物脈、石英脈が認められることから、これらの鉱物の晶出以降の断面活動は認められない。

「この地図は、国土地理院長の承認を得て、同院発行の2万5千分の1地形図を複製したものである。(承認番号 平27情復、第259号)」



走向傾斜測定値

① j:N7W27E	⑩ f:N56W44E
② j:N16W59E	⑪ j:N25E86E
③ f:N44W37E	⑫ j:N65E68E
④ f:N44W27E	⑬ j:N64W74W
⑤ j:N20E87E	⑭ f:N77W43E
⑥ j:N86W67E	⑮ j:N36E88E
⑦ j:N60W74E	⑯ j:N30E90
⑧ f:N63W63E	⑰ f:N40W65E
⑨ f:N82E57W	⑱ f:N76E71N
⑩ f:N86W90	⑲ f:N45E54W
⑪ j:N50W49E	⑳ f:N58E72N
⑫ j:N20E78E	㉑ f:N53E58W
⑬ j:N55E49W	㉒ j:N23E12E
⑭ j:N23E90	㉓ j:N80W72S
⑮ f:N74W60W	㉔ j:N35E12E
⑯ j:N30W52E	㉕ f:N36E83W
⑰ j:N58E73W	㉖ j:N25E71E
⑱ j:N62W77N	㉗ j:N89W59N
⑲ f:N70W41N	㉘ j:N76E24N
⑳ f:N76E71W	㉙ j:N80W23N
㉑ f:N66E84W	㉚ j:EW57N
㉒ f:N46W51E	㉛ j:N7E73W
㉓ j:N87W60N	㉜ j:N53E63E
㉔ f:N62E52W	㉝ j:N4E47E
㉕ f:N56W44E	

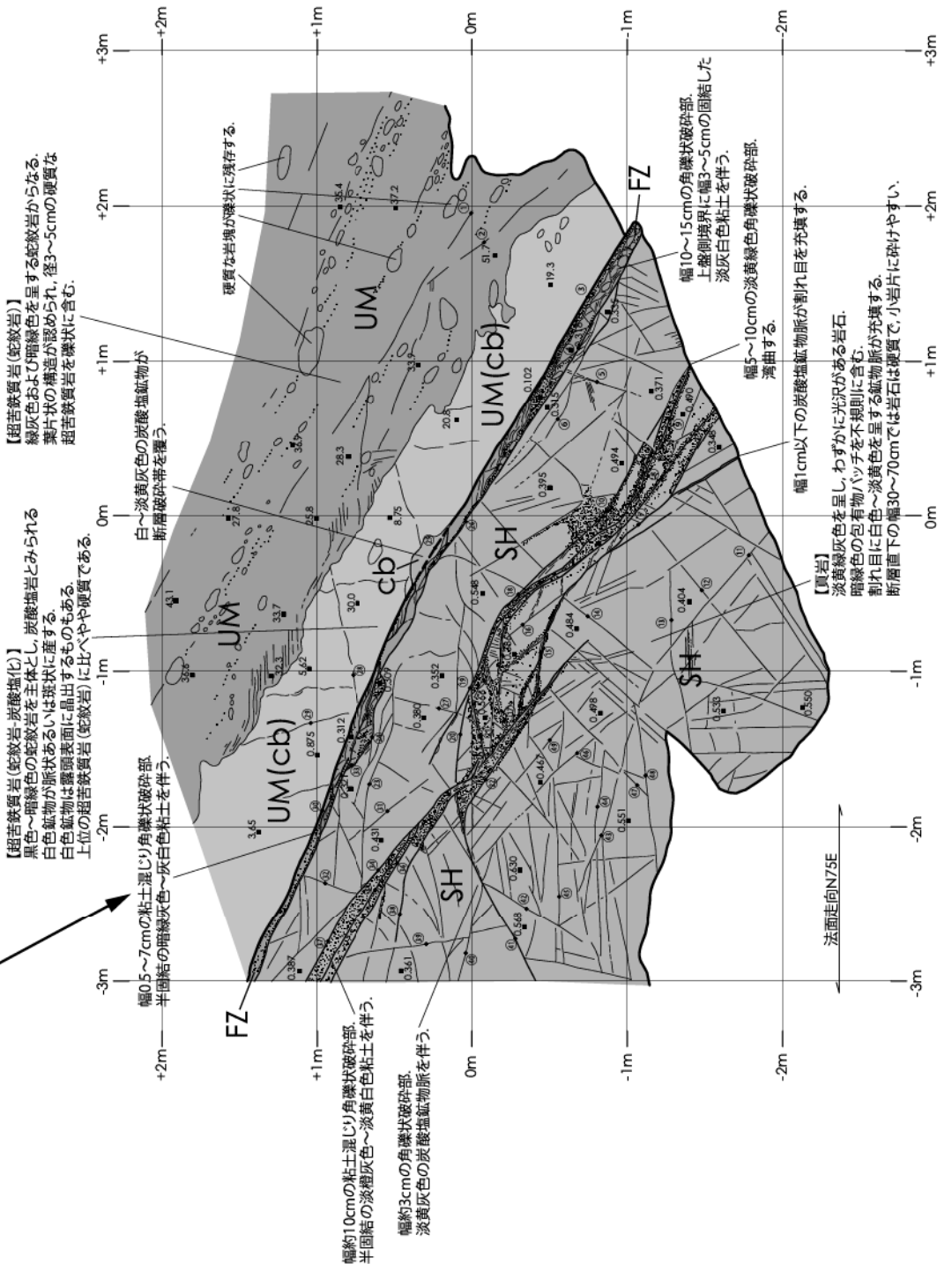
※ 1: 走向は偏角補正済み
 ※ 2: f(断面面), j(節理面, 裂か)

凡例

UM	超苦鉄質岩 (蛇紋岩)
UM(cb)	超苦鉄質岩 (蛇紋岩 炭酸塩化)
SH	頁岩
FZ	破碎帯
cb	炭酸塩岩
—	断層中軸部
- - -	断層中軸 (不明瞭)
—	断層
—	節理, 裂か
•③	走向傾斜測定位置
■64.0	帯磁率測定位置 (数値は測定値 ×10 ⁻³ SI)



—— 地形調査により抽出したリニアメント
 - - - 文献に示される断層



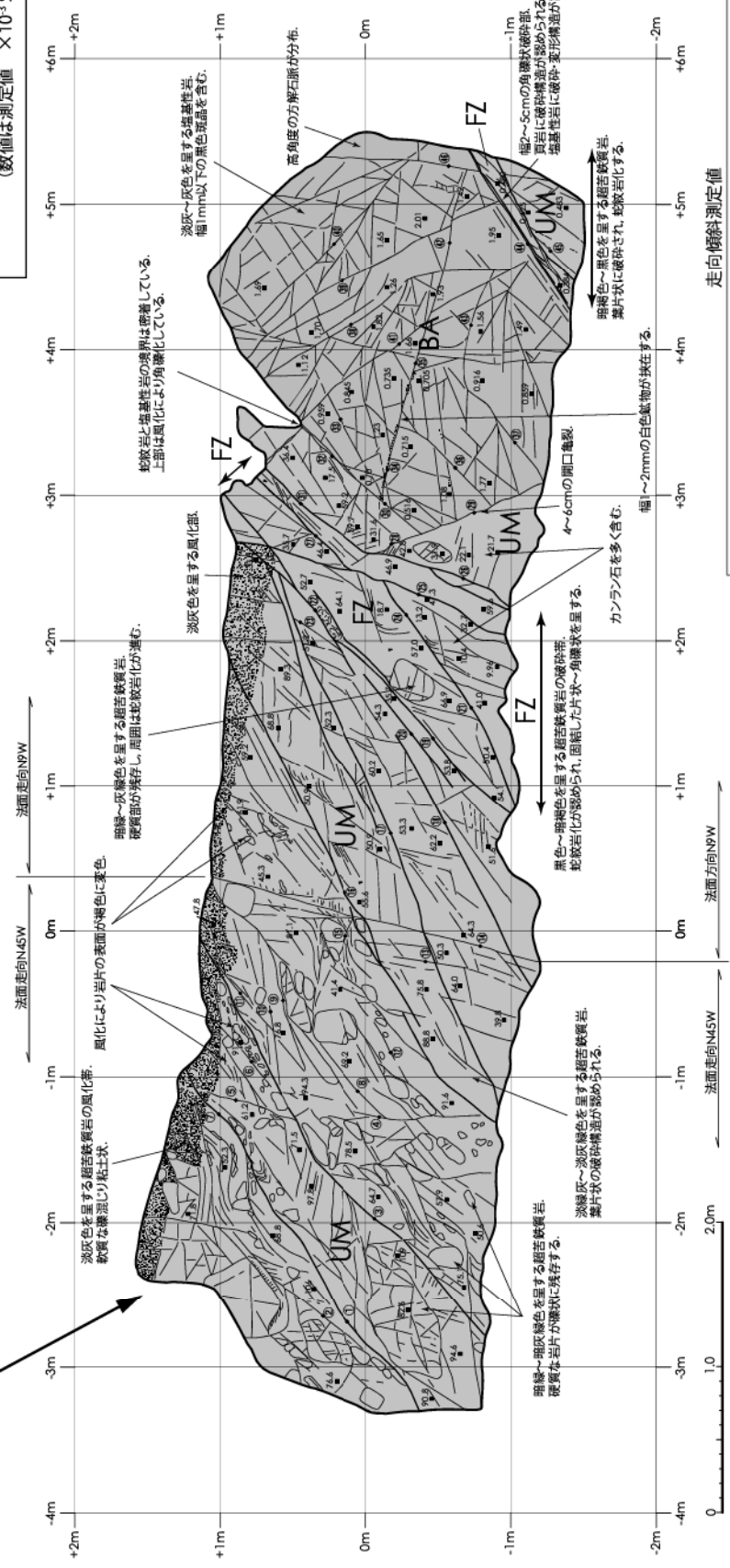
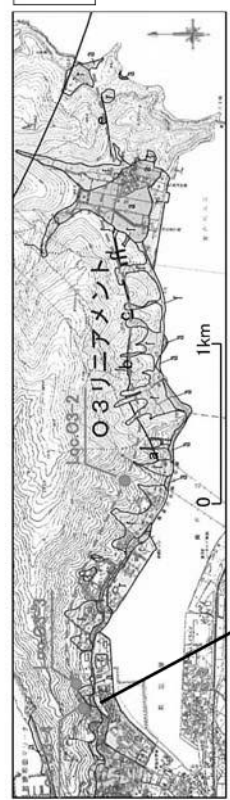
第3.3.38図 O3RiNiAmeNto 露頭スケッチ (Loc. O3-3)

凡例

BA	塩基性岩
UM	超苦鉄質岩
FZ	破砕帯
—	断層
—	節理、裂か
③	走向傾斜測定位置
■ 64.0	帯磁率測定位置 (数値は測定値 × 10 ⁻³ S)

「この地図は、国土地理院長の承認を得て、同院発行の2万5千分の1地形図を複製したものである。
(承認番号 平27情複、第259号)」

— 地形調査により抽出したリニアメント
- - - 文献に示される断層

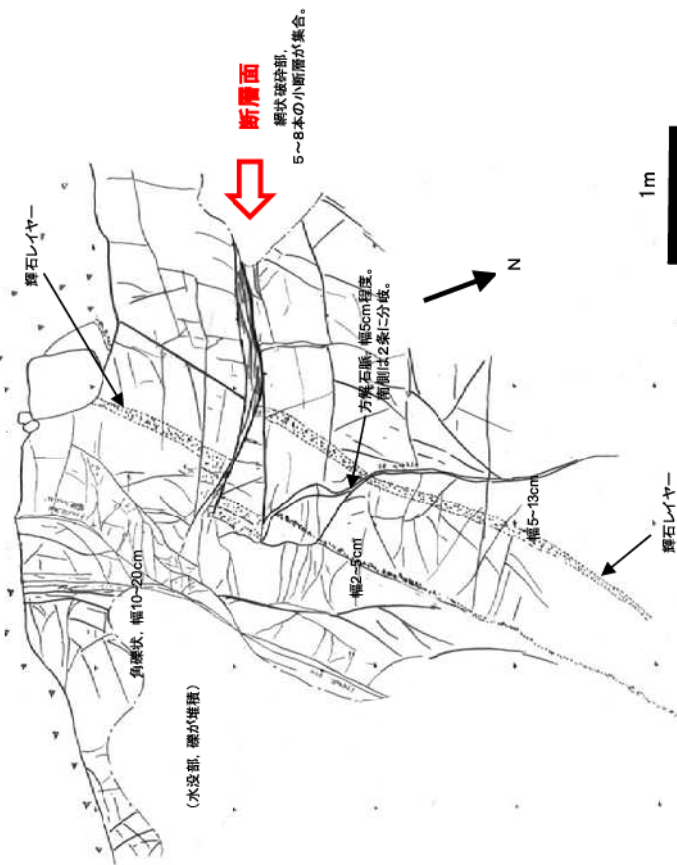
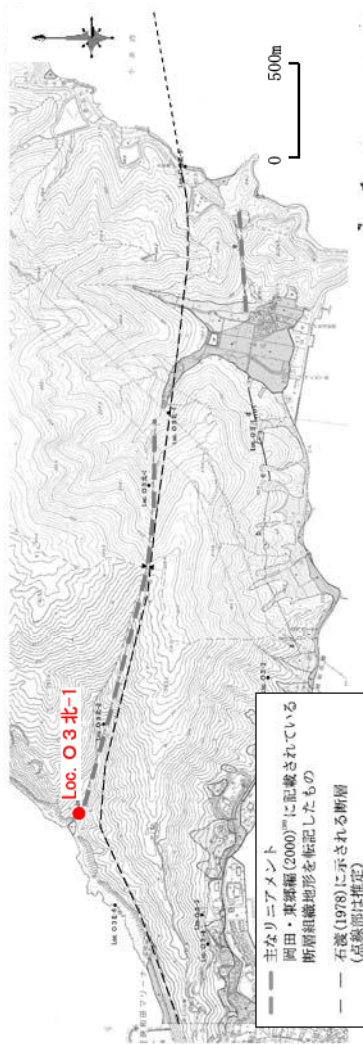


走向傾斜測定値

- | | | | |
|--------------|--------------|--------------|--------------|
| ① f: N63E42W | ⑪ f: N63E53W | ⑲ f: N85W50N | ⑳ f: N85W40N |
| ② f: N15E46W | ⑫ f: N43E24W | ⑳ f: N72W44S | ㉑ f: N51W49W |
| ③ f: N46E49W | ⑬ f: N76E80W | ㉒ b: N28E47W | |
| ④ f: N63E81W | ⑭ f: N71E83W | ㉓ f: N40W47E | |
| ⑤ f: N41E62W | ⑮ f: N40W64E | ㉔ f: N3W39E | |
| ⑥ f: N14E26W | ⑯ f: N23E17W | ㉕ f: N48E61W | |
| ⑦ f: N53E42W | ⑰ f: N54W57E | ㉖ f: N19E52E | |
| ⑧ f: N80E49W | ⑱ f: N70W82E | ㉗ f: N50E64W | |
| ⑨ f: N21W20W | ㉘ f: N82E56S | ㉙ f: N80E64N | |
| ⑩ f: N76E20W | ㉚ f: N85W50N | ㉛ f: N46E79E | |
| | | ㉜ f: N79W71S | |
| | | ㉝ b: N49E48N | |
| | | ㉞ f: N64E32N | |
| | | ㉟ f: N18E41W | |
| | | ㊱ f: N72E41W | |
| | | ㊲ f: N77E47W | |
| | | ㊳ f: N40W47E | |
| | | ㊴ f: N3W39E | |
| | | ㊵ f: N48E61W | |
| | | ㊶ f: N50E64W | |
| | | ㊷ f: N75W46N | |
| | | ㊸ f: N43E47W | |
| | | ㊹ f: N82E56S | |
| | | ㊺ b: N79W71S | |
| | | ㊻ f: N63E53W | |
| | | ㊼ f: N18E41W | |
| | | ㊽ f: N72E41W | |
| | | ㊾ f: N77E47W | |
| | | ㊿ f: N40W47E | |
| | | ㉀ f: N3W39E | |
| | | ㉁ f: N48E61W | |
| | | ㉂ f: N50E64W | |
| | | ㉃ f: N75W46N | |
| | | ㉄ f: N43E47W | |
| | | ㉅ f: N82E56S | |
| | | ㉆ b: N79W71S | |
| | | ㉇ f: N63E53W | |
| | | ㉈ f: N18E41W | |
| | | ㉉ f: N72E41W | |
| | | ㊱ f: N77E47W | |
| | | ㊲ f: N40W47E | |
| | | ㊳ f: N3W39E | |
| | | ㊴ f: N48E61W | |
| | | ㊵ f: N50E64W | |
| | | ㊶ f: N75W46N | |
| | | ㊷ f: N43E47W | |
| | | ㊸ f: N82E56S | |
| | | ㊹ b: N79W71S | |
| | | ㊺ f: N63E53W | |
| | | ㊻ f: N18E41W | |
| | | ㊼ f: N72E41W | |
| | | ㊽ f: N77E47W | |
| | | ㊾ f: N40W47E | |
| | | ㊿ f: N3W39E | |
| | | ㉀ f: N48E61W | |
| | | ㉁ f: N50E64W | |
| | | ㉂ f: N75W46N | |
| | | ㉃ f: N43E47W | |
| | | ㉄ f: N82E56S | |
| | | ㉅ b: N79W71S | |
| | | ㉆ f: N63E53W | |
| | | ㉇ f: N18E41W | |
| | | ㉈ f: N72E41W | |
| | | ㉉ f: N77E47W | |
| | | ㊱ f: N40W47E | |
| | | ㊲ f: N3W39E | |
| | | ㊳ f: N48E61W | |
| | | ㊴ f: N50E64W | |
| | | ㊵ f: N75W46N | |
| | | ㊶ f: N43E47W | |
| | | ㊷ f: N82E56S | |
| | | ㊸ b: N79W71S | |
| | | ㊹ f: N63E53W | |
| | | ㊺ f: N18E41W | |
| | | ㊻ f: N72E41W | |
| | | ㊼ f: N77E47W | |
| | | ㊽ f: N40W47E | |
| | | ㊾ f: N3W39E | |
| | | ㊿ f: N48E61W | |
| | | ㉀ f: N50E64W | |
| | | ㉁ f: N75W46N | |
| | | ㉂ f: N43E47W | |
| | | ㉃ f: N82E56S | |
| | | ㉄ b: N79W71S | |
| | | ㉅ f: N63E53W | |
| | | ㉆ f: N18E41W | |
| | | ㉇ f: N72E41W | |
| | | ㉈ f: N77E47W | |
| | | ㉉ f: N40W47E | |
| | | ㊱ f: N3W39E | |
| | | ㊲ f: N48E61W | |
| | | ㊳ f: N50E64W | |
| | | ㊴ f: N75W46N | |
| | | ㊵ f: N43E47W | |
| | | ㊶ f: N82E56S | |
| | | ㊷ b: N79W71S | |
| | | ㊸ f: N63E53W | |
| | | ㊹ f: N18E41W | |
| | | ㊺ f: N72E41W | |
| | | ㊻ f: N77E47W | |
| | | ㊼ f: N40W47E | |
| | | ㊽ f: N3W39E | |
| | | ㊾ f: N48E61W | |
| | | ㊿ f: N50E64W | |
| | | ㉀ f: N75W46N | |
| | | ㉁ f: N43E47W | |
| | | ㉂ f: N82E56S | |
| | | ㉃ b: N79W71S | |
| | | ㉄ f: N63E53W | |
| | | ㉅ f: N18E41W | |
| | | ㉆ f: N72E41W | |
| | | ㉇ f: N77E47W | |
| | | ㉈ f: N40W47E | |
| | | ㉉ f: N3W39E | |
| | | ㊱ f: N48E61W | |
| | | ㊲ f: N50E64W | |
| | | ㊳ f: N75W46N | |
| | | ㊴ f: N43E47W | |
| | | ㊵ f: N82E56S | |
| | | ㊶ b: N79W71S | |
| | | ㊷ f: N63E53W | |
| | | ㊸ f: N18E41W | |
| | | ㊹ f: N72E41W | |
| | | ㊺ f: N77E47W | |
| | | ㊻ f: N40W47E | |
| | | ㊼ f: N3W39E | |
| | | ㊽ f: N48E61W | |
| | | ㊾ f: N50E64W | |
| | | ㊿ f: N75W46N | |
| | | ㉀ f: N43E47W | |
| | | ㉁ f: N82E56S | |
| | | ㉂ b: N79W71S | |
| | | ㉃ f: N63E53W | |
| | | ㉄ f: N18E41W | |
| | | ㉅ f: N72E41W | |
| | | ㉆ f: N77E47W | |
| | | ㉇ f: N40W47E | |
| | | ㉈ f: N3W39E | |
| | | ㉉ f: N48E61W | |
| | | ㊱ f: N50E64W | |
| | | ㊲ f: N75W46N | |
| | | ㊳ f: N43E47W | |
| | | ㊴ f: N82E56S | |
| | | ㊵ b: N79W71S | |
| | | ㊶ f: N63E53W | |
| | | ㊷ f: N18E41W | |
| | | ㊸ f: N72E41W | |
| | | ㊹ f: N77E47W | |
| | | ㊺ f: N40W47E | |
| | | ㊻ f: N3W39E | |
| | | ㊼ f: N48E61W | |
| | | ㊽ f: N50E64W | |
| | | ㊾ f: N75W46N | |
| | | ㊿ f: N43E47W | |
| | | ㉀ f: N82E56S | |
| | | ㉁ b: N79W71S | |
| | | ㉂ f: N63E53W | |
| | | ㉃ f: N18E41W | |
| | | ㉄ f: N72E41W | |
| | | ㉅ f: N77E47W | |
| | | ㉆ f: N40W47E | |
| | | ㉇ f: N3W39E | |
| | | ㉈ f: N48E61W | |
| | | ㉉ f: N50E64W | |
| | | ㊱ f: N75W46N | |
| | | ㊲ f: N43E47W | |
| | | ㊳ f: N82E56S | |
| | | ㊴ b: N79W71S | |
| | | ㊵ f: N63E53W | |
| | | ㊶ f: N18E41W | |
| | | ㊷ f: N72E41W | |
| | | ㊸ f: N77E47W | |
| | | ㊹ f: N40W47E | |
| | | ㊺ f: N3W39E | |
| | | ㊻ f: N48E61W | |
| | | ㊼ f: N50E64W | |
| | | ㊽ f: N75W46N | |
| | | ㊾ f: N43E47W | |
| | | ㊿ f: N82E56S | |
| | | ㉀ b: N79W71S | |
| | | ㉁ f: N63E53W | |
| | | ㉂ f: N18E41W | |
| | | ㉃ f: N72E41W | |
| | | ㉄ f: N77E47W | |
| | | ㉅ f: N40W47E | |
| | | ㉆ f: N3W39E | |
| | | ㉇ f: N48E61W | |
| | | ㉈ f: N50E64W | |
| | | ㉉ f: N75W46N | |
| | | ㊱ f: N43E47W | |
| | | ㊲ f: N82E56S | |
| | | ㊳ b: N79W71S | |
| | | ㊴ f: N63E53W | |
| | | ㊵ f: N18E41W | |
| | | ㊶ f: N72E41W | |
| | | ㊷ f: N77E47W | |
| | | ㊸ f: N40W47E | |
| | | ㊹ f: N3W39E | |
| | | ㊺ f: N48E61W | |
| | | ㊻ f: N50E64W | |
| | | ㊼ f: N75W46N | |
| | | ㊽ f: N43E47W | |
| | | ㊾ f: N82E56S | |
| | | ㊿ b: N79W71S | |
| | | ㉀ f: N63E53W | |
| | | ㉁ f: N18E41W | |
| | | ㉂ f: N72E41W | |
| | | ㉃ f: N77E47W | |
| | | ㉄ f: N40W47E | |
| | | ㉅ f: N3W39E | |
| | | ㉆ f: N48E61W | |
| | | ㉇ f: N50E64W | |
| | | ㉈ f: N75W46N | |
| | | ㉉ f: N43E47W | |
| | | ㊱ f: N82E56S | |
| | | ㊲ b: N79W71S | |
| | | ㊳ f: N63E53W | |
| | | ㊴ f: N18E41W | |
| | | ㊵ f: N72E41W | |
| | | ㊶ f: N77E47W | |
| | | ㊷ f: N40W47E | |
| | | ㊸ f: N3W39E | |
| | | ㊹ f: N48E61W | |
| | | ㊺ f: N50E64W | |
| | | ㊻ f: N75W46N | |
| | | ㊼ f: N43E47W | |
| | | ㊽ f: N82E56S | |
| | | ㊾ b: N79W71S | |
| | | ㊿ f: N63E53W | |

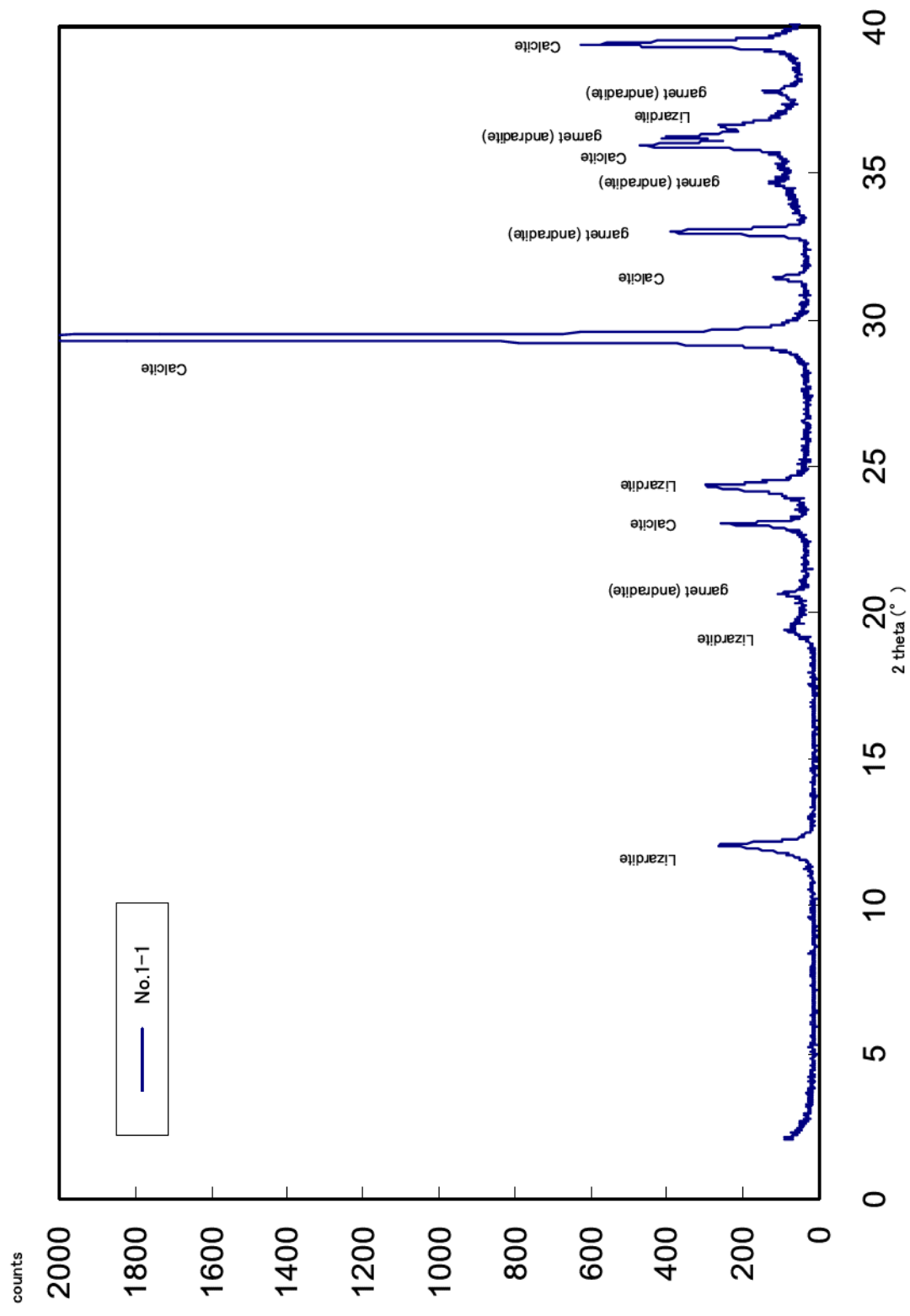
※ 1: 走向は偏角補正済み ※ 2: f(断層面), b(節理面、裂か), (地層境界)

第3.3.39図 O3リニアメント 露頭スケッチ (Loc. O3-4)



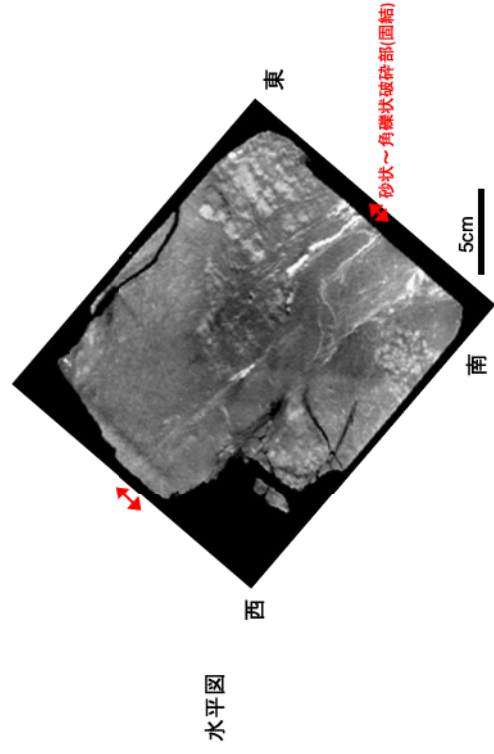
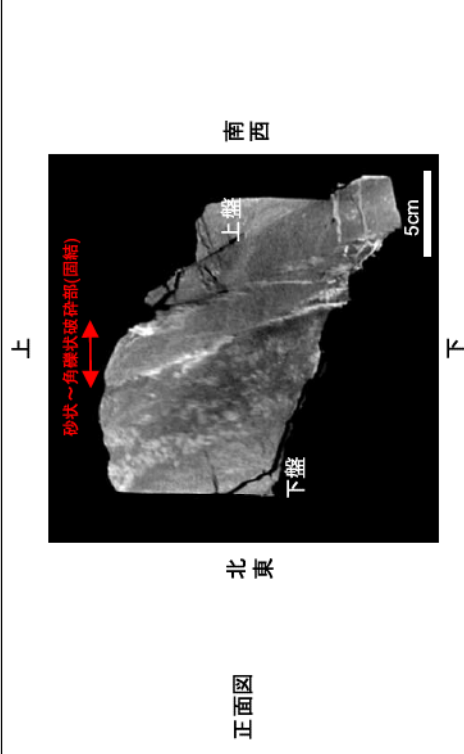
- Loc. O3北-1において、リニアメント直下のかんらん岩中に、リニアメントの方向と調和的な走向の断層を確認した。
- 断層の走向傾斜はN77~82W/72~74Sであり、固結した砂状~角礫状破砕部からなる。幅は10cm~15cm程度である。
- 周囲の基盤岩中にも同走向(WNW-ESE走向)の割れ目が卓越する。
- 主断層面は、幅2~3mmの固結した砂状~角礫状破砕部からなる。連続性に乏しいほか、層状構造が未発達であり、軟質な断層ガウジを伴わない。

第 3.3.40 図 O3 リニアメント (北) 露頭観察結果 (Loc. O3北-1)



主断層面に認められる鉱物は、蛇紋石 (Lizardite)、方解石 (Calcite)、ざくろ石類 (Andradite) である。

第 3.3.41 図 O 3 リニアメント (北) X 線回折法による分析結果 (Loc. O 3 北-1)



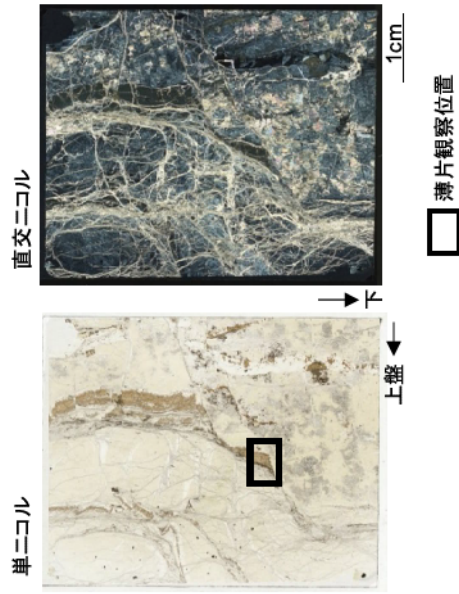
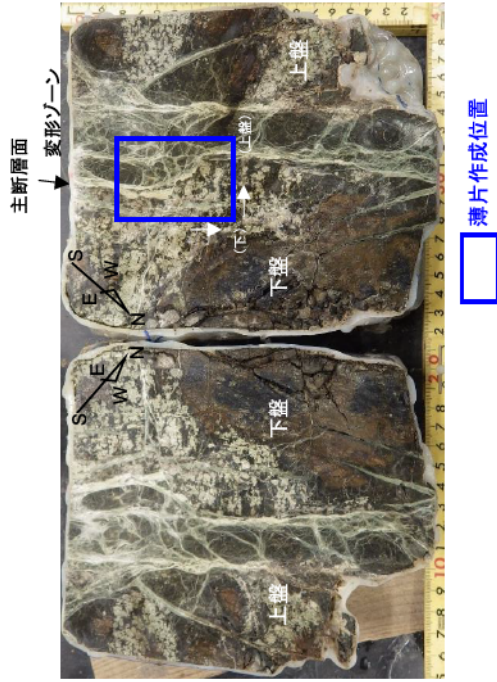
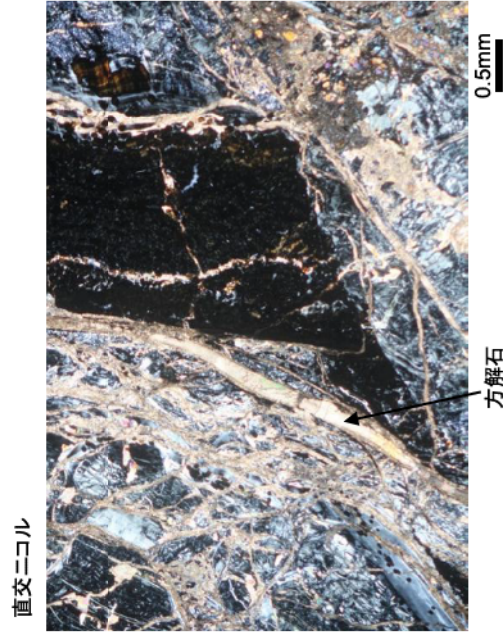
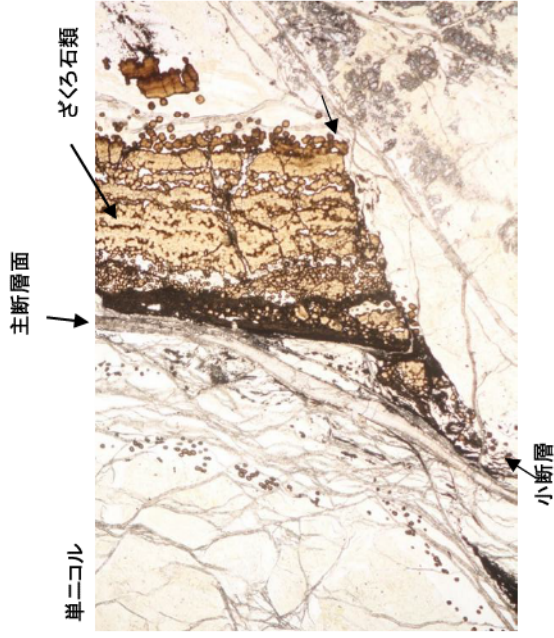
ブロックサンプリング位置での断層の走向傾斜：TN41W/72S
 縦ずれ成分：不明、横ずれ成分：左横ずれ
 固結した角礫状破砕部



断層面の状況(最新面近傍の断層面:上盤側)



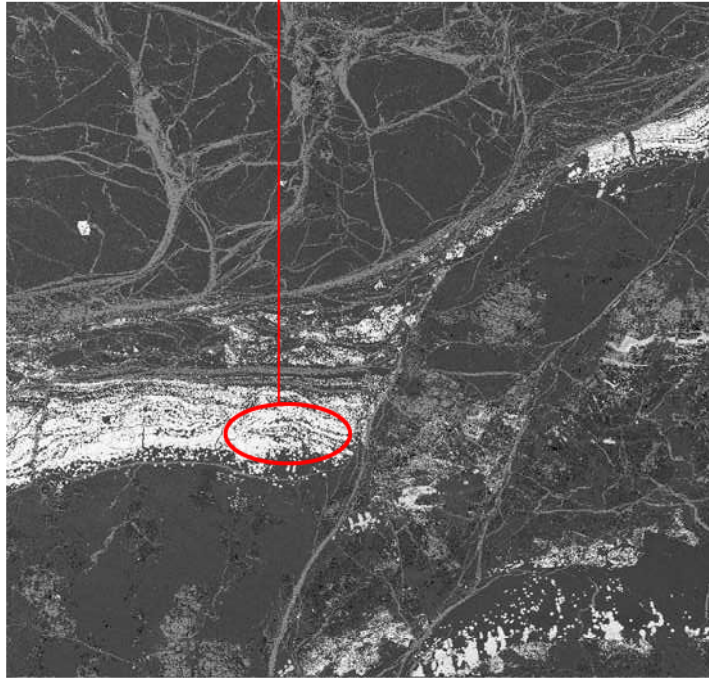
鉱物によって被覆された不明瞭な条線が認められた。



・条線は水平方向が卓越することから、ブロックを水平に切断し、薄片を作成した。
 ・主断層面に沿って、方解石が脈状に、ざくろ石類 (andradite) が帯状に晶出している。
 ・主断層面は直線性に乏しく、主断層に斜交する小断層によって延性的に変形している。ただし小断層は薄片内でせん滅する。
 ・ざくろ石類は自形結晶の形が確認され、結晶が壊されていない。

第 3. 3. 43 図 O 3 リニアメント (北) 薄片観察結果 (Loc. O 3 北-1)

COMP



N=23points

重量%	
SiO ₂	31.6
TiO ₂	0.0
Al ₂ O ₃	0.5
Fe ₂ O ₃	29.0
MnO	0.0
MgO	1.6
CaO	32.2
Na ₂ O	0.0
K ₂ O	0.0
Cr ₂ O ₃	0.0
Total	94.9
酸素数	24
陽イオン数	

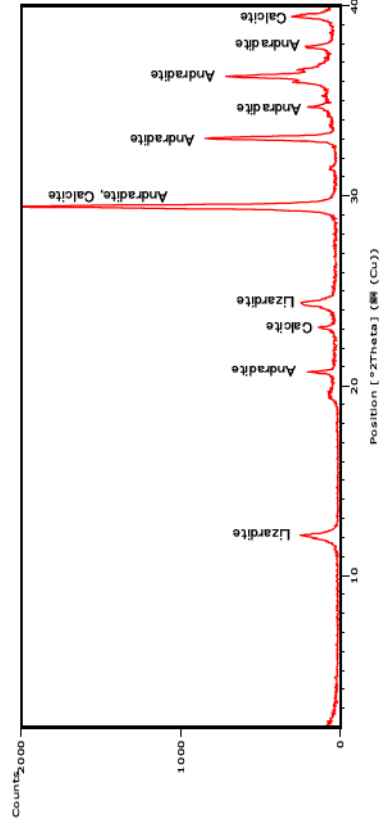
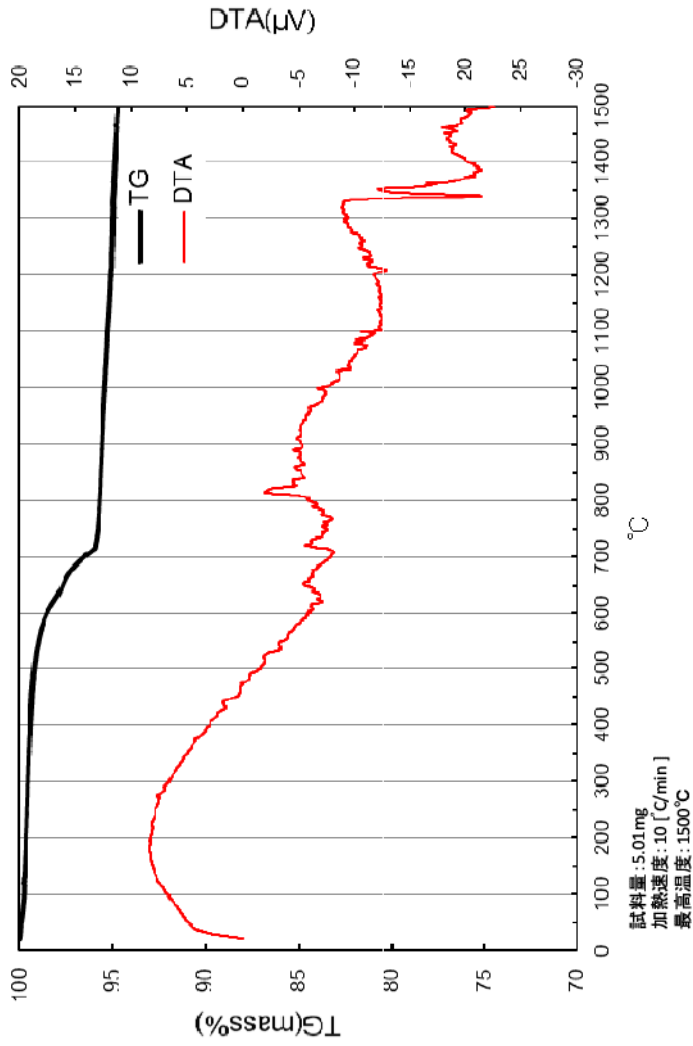
Si	6.2
Ti	0.0
Al	0.1
Fe	4.3
Mn	0.0
Mg	0.5
Ca	6.7
Na	0.0
K	0.0
Cr	0.0



andradite $\text{Ca}_6\text{Fe}_4\text{Si}_6\text{O}_{24}$

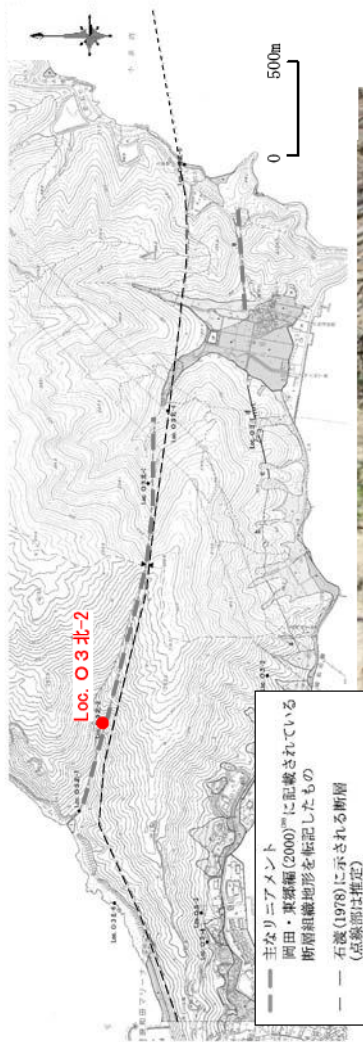
- 主断層面に沿って帯状に分布する鉱物の化学組成はざくろ石類 (andradite) の化学組成と整合的である。
- 但し、化学組成の合計が100%となっていないのは、ざくろ石類の周辺を埋めている蛇紋石の影響や、含水鉱物が含まれている可能性等が考えられる。

Loc.O3北-1 ざくろ石類 熱重量-示差熱分析結果



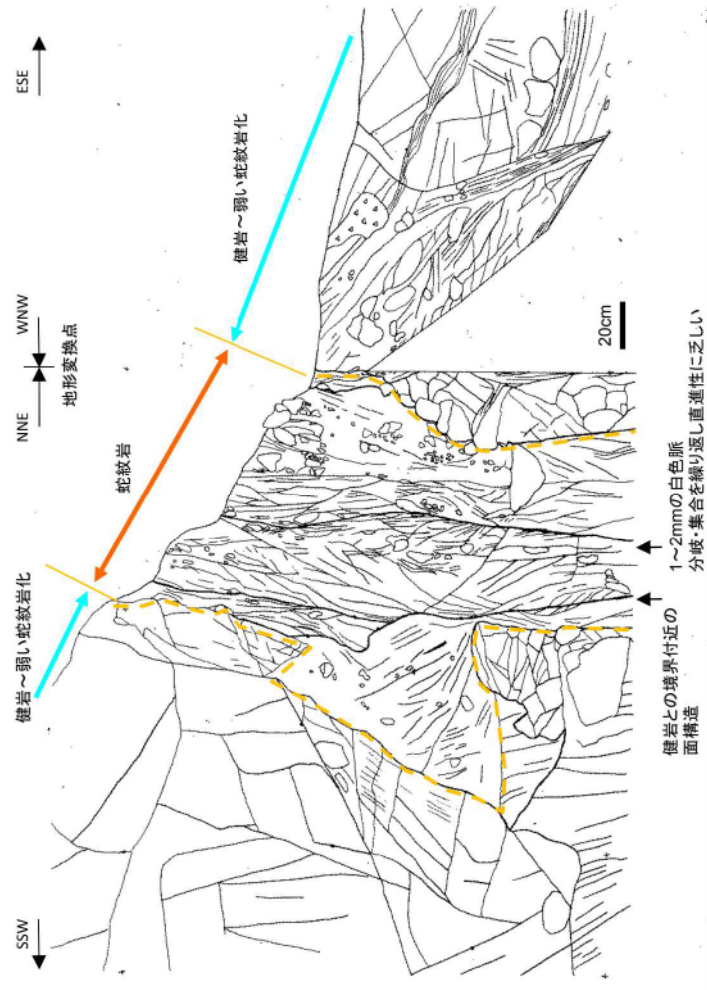
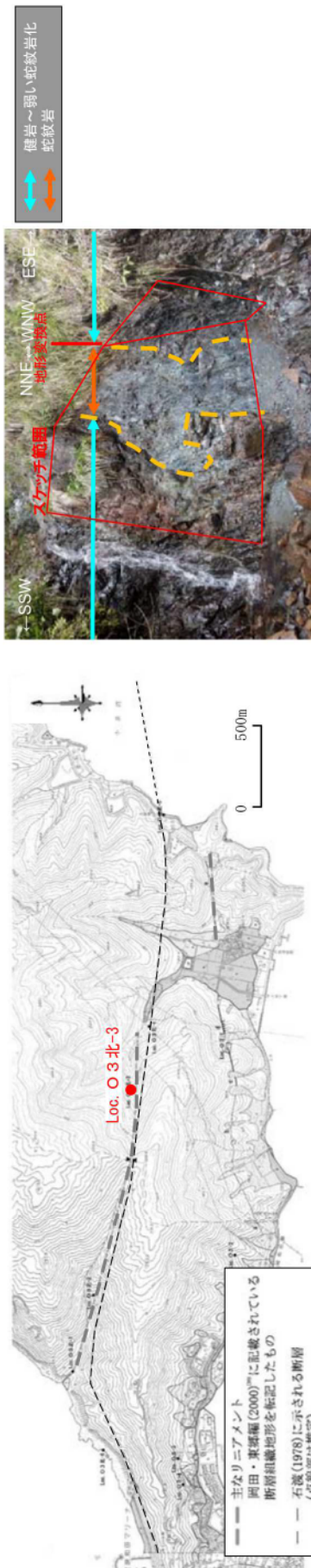
熱重量-示差熱分析を行ったLoc.O3北-1の試料のX線回折法による分析結果
ざくろ石類を多く含むことを確認している

- ざくろ石類の含水の影響を確認するために、熱重量-示差熱分析を行った。
- その結果、550°程度から質量の減少が認められ、脱水が生じていると考えられる。
- Loc.O3北-1で認められたざくろ石類は、andraditeの含水鉱物であるhydroandraditeの可能性がある。



・Loc.O3北-2において、リニアメント直下のかんらん岩中に、リニアメントの方向と調和的な走向の断層を確認した。
 ・断層の走向傾斜はN77W/73Sであり、幅は5cm～10cm程度の固結した角礫状破碎部からなる。

第 3.3.46 図 O3リニアメント (北) 露头観察結果 (Loc. O3北-2)



・リニアメント直下で蛇紋岩を確認した。蛇紋岩は一部軟質化している。
 ・蛇紋岩中に認められる面構造は走向・傾斜は概ねリニアメントの方向と調和的であるが、直線的ではなく走向・傾斜は一定でない。蛇紋岩は一部軟質化しているが、ある一定方向の卓越するせん断構造は認められない。
 ・健岩部と蛇紋岩との境界は漸移的である。

第 3.3.47 図 O 3 リニアメント (北) 露頭観察結果 (Loc. O 3北-3)